

**THESE DE DOCTORAT DE L'ETABLISSEMENT UNIVERSITE BOURGOGNE
FRANCHE-COMTE**

PREPAREE A L'UNIVERSITE DE FRANCHE-COMTE

Ecole doctorale n° <numéro de l'Ecole doctorale>

<Nom de l'Ecole doctorale>

Doctorat de Informatique

Par

M. SOTO FORERO Daniel

Adaptation en temps réel d'une séance d'entraînement par intelligence artificielle

Thèse présentée et soutenue à Besançon, le <date>

Composition du Jury :

<Civilité><Nom><Prénom>	<Fonction et établissement d'exercice>	Président
<Civilité><Nom><Prénom>	<Fonction et établissement d'exercice>	Rapporteur
<Civilité><Nom><Prénom>	<Fonction et établissement d'exercice>	Rapporteur
<Civilité><Nom><Prénom>	<Fonction et établissement d'exercice>	Examineur
<Civilité><Nom><Prénom>	<Fonction et établissement d'exercice>	Examinatrice
<Civilité><Nom><Prénom>	<Fonction et établissement d'exercice>	Directeur de thèse
<Civilité><Nom><Prénom>	<Fonction et établissement d'exercice>	Codirecteur de thèse
<Civilité><Nom><Prénom>	<Fonction et établissement d'exercice>	Invité

REMERCIEMENTS

SOMMAIRE

I	Contexte et Problématiques	1
1	Introduction	3
1.1	Contributions Principales	4
1.2	Plan de la thèse	5
2	Contexte	7
2.1	Les stratégies d'apprentissage humain et les environnements informatiques pour l'apprentissage humain (EIAH)	7
2.1.1	Les stratégies d'apprentissage	7
2.1.2	Les EIAH	8
2.1.3	L'exerciseur initial AI-VT	9
2.2	Le contexte technique	10
2.2.1	Le raisonnement à partir de cas (RàPC)	10
2.2.1.1	Retrouver (Rechercher)	12
2.2.1.2	Réutiliser (Adapter)	12
2.2.1.3	Réviser et Réparer	12
2.2.1.4	Retenir (Stocker)	13
2.2.1.5	Conteneurs de Connaissance	14
2.2.2	Les systèmes multi-agents	14
2.2.3	Différents algorithmes et fonctions implémentés dans AI-VT pour la personnalisation et l'adaptation des séances d'entraînement proposées	15
2.2.3.1	Pensée Bayésienne	15
2.2.3.2	Méthode des k plus proches voisins (K-Nearest Neighborhood - KNN)	16
2.2.3.3	K-Moyennes	17
2.2.3.4	Modèle de Mélange Gaussien GMM (<i>Gaussian Mixture Model</i>)	18
2.2.3.5	Fuzzy-C	18
2.2.3.6	Bandit Manchot MAB (<i>Multi-Armed Bandits</i>)	19
2.2.3.7	Échantillonnage de Thompson TS (<i>Thompson Sampling</i>)	19

II	État de l'art	21
3	Environnements Informatiques d'Apprentissage Humain	23
3.1	L'Intelligence Artificielle	23
3.2	Systèmes de recommandation dans les EIAH	24
4	État de l'art (Raisonnement à Partir de Cas)	29
4.1	Raisonnement à partir de cas (RàPC)	29
III	Contributions	35
5	Architecture Globale pour le Système AI-VT	37
5.1	Introduction	37
5.2	Description du système AI-VT	38
5.3	Modèle d'architecture proposé	39
5.3.1	Correction automatique	41
5.3.2	Identification	42
5.3.3	Révision	43
5.3.4	Test	44
5.4	Conclusion	45



CONTEXTE ET PROBLÉMATIQUES

INTRODUCTION

Ce chapitre introductif vise à expliquer les termes du sujet et à introduire la thématique principale abordée. Il présente la problématique de cette thèse, introduit les différentes contributions proposées et annonce le plan du manuscrit.

Comme l'indique [Nkambou et al., 2010], les environnements informatiques pour l'apprentissage humain (EIAH) sont des outils proposant des services devant permettre aux apprenants d'acquérir des connaissances et de développer des compétences dans un domaine spécifique. Pour fournir des services efficaces, le système doit intégrer une représentation des connaissances du domaine et des mécanismes pour utiliser ces connaissances. Il doit également être en mesure de raisonner et de résoudre des problèmes.

Le système *Artificial Intelligence - Virtual Trainer* (AI-VT) est un EIAH générique développé au département d'informatique des systèmes complexes (DISC) de l'institut de recherche FEMTO-ST. Cet outil informatique propose un ensemble d'exercices aux apprenants dans le cadre de séances d'entraînement. AI-VT intègre le fait qu'une séance d'entraînement se situe dans un cycle de plusieurs séances. Les réponses apportées par l'apprenant à chaque exercice sont évaluées numériquement sur une échelle prédéfinie, ce qui permet d'estimer les progrès de l'apprenant et de déduire les sous-domaines dans lesquels il peut avoir des difficultés. Une séance est générée par un système multi-agents associé à un système de raisonnement à partir de cas (RàPC) [Henriet et al., 2017]. Un apprenant choisit le domaine dans lequel il souhaite s'entraîner et AI-VT lui propose un test préliminaire. Les résultats obtenus permettent de placer l'apprenant dans le niveau de maîtrise adéquate. Le système génère ensuite une séance adaptée veillant à l'équilibre entre l'entraînement, l'apprentissage et la découverte de nouvelles connaissances. L'actualisation du niveau de l'apprenant est effectuée à la fin de chaque séance. De cette façon l'apprenant peut avancer dans l'acquisition des connaissances ou s'entraîner sur des connaissances déjà apprises.

Un certain nombre d'EIAH utilisent des algorithmes d'intelligence artificielle (IA) pour détecter les faiblesses et aussi pour s'adapter à chaque apprenant. Les algorithmes et modèles de certains de ces systèmes seront analysés dans les chapitres 3 et 4. Ces chapitres présenteront leurs propriétés, leurs avantages et leurs limites.

Le système AI-VT initial était capable d'ajuster les paramètres de personnalisation d'une séance à l'autre, mais il ne pouvait pas modifier une séance en cours même si certains exercices de celle-ci étaient trop simples ou trop complexes. Chaque séance était figée et devait être déroulée jusqu'à son terme avant de pouvoir identifier des acquis et des lacunes. Les travaux de cette thèse ont eu pour objectif de pallier ce manque.

La problématique principale de cette thèse est la personnalisation en temps réel du parcours d'apprentissage des apprenants dans le système AI-VT (*Artificial Intelligence - Virtual Trainer*)

Ici *le temps réel* est considéré comme étant le moment où se déroule la séance que l'apprenant est en train de suivre. Par conséquent, l'objectif est de rendre AI-VT plus dynamique pour l'identification des difficultés et l'adaptation du contenu personnalisé en fonction des connaissances démontrées.

La partie suivante présente une liste des principales contributions apportées par cette thèse à la problématique générale énoncée plus haut.

Ce travail de thèse a été effectué au sein l'Université de Franche-Comté (UFC) devenue depuis le 1er janvier 2025 l'Université Marie et Louis Pasteur (UMLP). Ces recherches ont été menées au sein de l'équipe DEODIS du département d'informatique des systèmes complexes de l'institut de recherche FEMTO-ST, unité mixte de recherche (UMR) 6174 du centre national de la recherche scientifique (CNRS).

1.1/ CONTRIBUTIONS PRINCIPALES

La problématique principale de ces travaux de recherche a été déclinée en plusieurs sous-parties. Ces dernières sont présentées ci-dessous sous la forme de questions. Pour chacune d'elles, une ou plusieurs propositions ont été faites. Voici les questions de recherche abordées et les contributions apportées :

1. **Comment permettre au système AI-VT d'évoluer et d'intégrer de multiples outils ?** Pour répondre à cette question, une architecture modulaire autour du moteur initial d'AI-VT a été conçue et implémentée (ce moteur initial étant le système de raisonnement à partir de cas (RàPC) développé avant le démarrage de ces travaux de thèse).
2. **Comment déceler qu'un exercice est plus ou moins adapté aux besoins de l'apprenant ?** Choisir les exercices les plus adaptés nécessite d'associer une valeur liée à son utilité pour cet apprenant. Les modèles de régression permettent d'interpoler une telle valeur. Pour répondre à cette question, nous avons proposé de nouveaux modèles de régression fondés sur le paradigme du raisonnement à partir de cas et celui des systèmes multi-agents.
3. **Quel modèle et quel type d'algorithmes peuvent être utilisés pour recommander un parcours personnalisé aux apprenants ?** Pour apporter une réponse à cette question, un système de recommandation fondé sur l'apprentissage par renforcement a été conçu. L'objectif de ces travaux est de proposer un module permettant de recommander des exercices aux apprenants en fonction des connaissances démontrées et en se fondant sur les réponses apportées aux exercices précédents de la séance en cours. Ce module de révision de la séance en cours du modèle de RàPC est fondé sur un modèle Bayésien.
4. **Comment consolider les acquis de manière automatique ?** Une séance doit non seulement intégrer des exercices de niveaux variés mais également permettre à l'apprenant de renforcer ses connaissances. Dans cette optique, notre modèle Bayésien a été enrichi d'un processus de Hawkes incluant une fonction d'oubli.

1.2/ PLAN DE LA THÈSE

Ce manuscrit est scindé en deux grandes parties. La première partie contient trois chapitres et la seconde en contient quatre. Le premier chapitre de la première partie (chapitre 2) vise à introduire le sujet, les concepts, les algorithmes associés, présenter le contexte général et l'application AI-VT initiale. Le deuxième chapitre de cette partie présente différents travaux emblématiques menés dans le domaine des environnements informatiques pour l'apprentissage humain. Le chapitre suivant conclut cette première partie en présentant le raisonnement à partir de cas.

Dans la seconde partie du manuscrit, le chapitre 5 explicite l'architecture proposée pour intégrer les modules développés autour du système AI-VT initial et élargir ses fonctionnalités. Le chapitre 6 propose deux outils originaux fondés sur le raisonnement à partir de cas et les systèmes multi-agents pour résoudre des problèmes de régression de façon générique. Le chapitre 7 présente l'application de ces nouveaux outils de régression dans un système de recommandation intégré à AI-VT utilisant un modèle Bayésien. Ce chapitre montre de quelle manière il permet de réviser une séance d'entraînement en cours. Le chapitre 8 montre l'utilisation du processus de Hawkes pour renforcer l'apprentissage.

Enfin, une conclusion générale incluant des perspectives de recherche termine ce manuscrit.

CONTEXTE

Dans ce chapitre sont décrits plus en détails le contexte applicatif et le contexte technique de ces travaux de recherche. Il présente les concepts et algorithmes utilisés dans le développement des modules. Ces modules font partie des contributions de cette thèse à l'environnement informatique pour l'apprentissage humain (EIAH) appelé AI-VT (*Artificial Intelligence - Artificial Trainer*).

Ce chapitre commence par une présentation des EIAH suivie d'une présentation sommaire du fonctionnement d'AI-VT. AI-VT étant un système de raisonnement à partir de cas (RàPC) modélisé sous la forme d'un système multi-agents (SMA), cette présentation des EIAH est suivie d'une présentation du RàPC, puis des SMA. Ce chapitre se termine par une présentation de différents algorithmes et notions implémentés dans AI-VT pour la personnalisation et l'adaptation des séances d'entraînement proposées par l'EIAH.

2.1/ LES STRATÉGIES D'APPRENTISSAGE HUMAIN ET LES ENVIRONNEMENTS INFORMATIQUES POUR L'APPRENTISSAGE HUMAIN (EIAH)

2.1.1/ LES STRATÉGIES D'APPRENTISSAGE

Dans [Lalitha and Sreeja, 2020], l'apprentissage est défini comme une fonction du cerveau humain acquise grâce au changement permanent dans l'obtention de connaissances et de compétences par le biais d'un processus de transformation du comportement lié à l'expérience ou à la pratique. L'apprentissage implique réflexion, compréhension, raisonnement et mise en œuvre. Un individu peut utiliser différentes stratégies pour acquérir la connaissance. Comme le montre la figure 2.1, les stratégies peuvent être classées entre mode traditionnel et mode en-ligne.

L'apprentissage traditionnel se réfère à l'apprentissage-type tel qu'il est fait dans une classe. Il est centré sur l'enseignant où la présence physique est l'élément fondamental dans la mesure où elle implique une unité de temps et de lieu. Ici, l'enseignant interagit directement avec l'élève, et les ressources sont généralement des documents imprimés. L'apprentissage et la participation doivent y être actifs, la rétroaction y est instantanée et il existe des interactions sociales. En revanche, les créneaux horaires, les lieux et les contenus sont rigides (décidés par l'enseignant et la structure dans laquelle les enseignements sont dispensés).

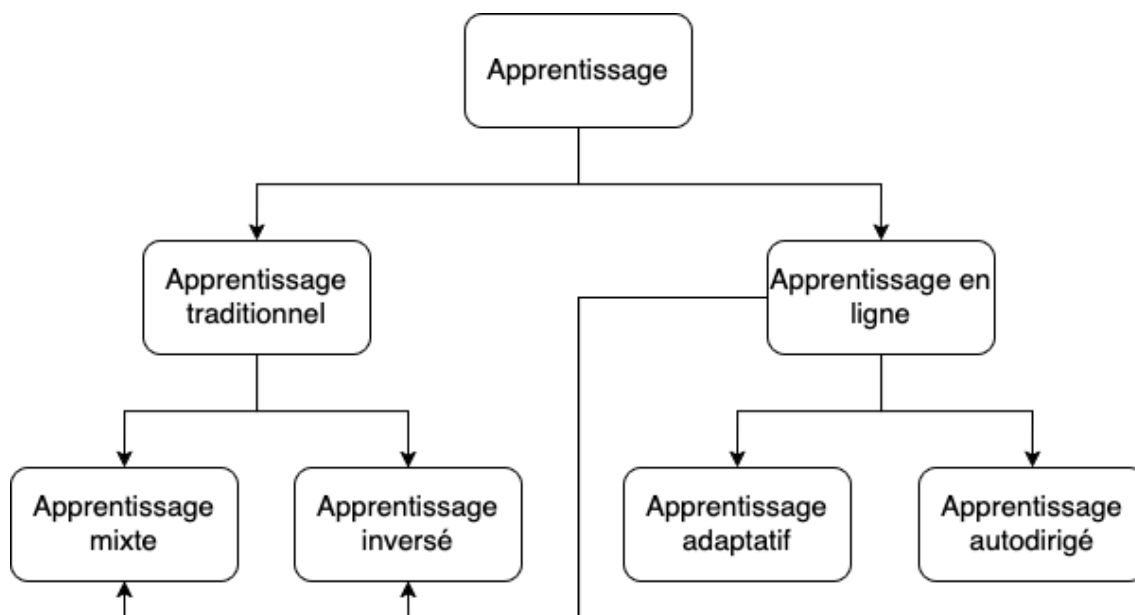


FIGURE 2.1 – Stratégies d'apprentissage (Traduit de [Lalitha and Sreeja, 2020])

L'autre stratégie globale est l'apprentissage en-ligne, qui s'appuie sur les ressources et l'information disponible sur le web. Cette stratégie incite les apprenants à être actifs pour acquérir de nouvelles connaissances de manière autonome grâce aux nombreuses ressources disponibles. Les points positifs de cette stratégie sont par exemple la rentabilité, la mise à niveau continue des compétences et des connaissances ou une plus grande opportunité d'accéder au contenu du monde entier. Pour l'apprenant, l'auto-motivation et l'interaction peuvent être des défis à surmonter. Pour l'enseignant, il est parfois difficile d'évaluer l'évolution du processus d'apprentissage de l'individu. L'apprentissage en-ligne fait aussi référence à l'utilisation de dispositifs électroniques pour apprendre (*e-learning*) où les apprenants peuvent être guidés par l'enseignant à travers des liens, du matériel spécifique d'apprentissage, des activités ou exercices.

Il existe également des stratégies hybrides combinant des caractéristiques des deux stratégies fondamentales, comme un cours en-ligne mais avec quelques séances en présentiel pour des activités spécifiques ou des cours traditionnels avec du matériel d'apprentissage complémentaire en-ligne.

2.1.2/ LES EIAH

Les EIAH sont des outils pour aider les apprenants dans le processus d'apprentissage et l'acquisition de la connaissance. Ces outils sont conçus pour fonctionner avec des stratégies d'apprentissage en-ligne et mixtes. Généralement, l'architecture de ces systèmes est divisée en quatre composants comme le montre la figure 2.2. Ces composants sont :

- Le *domaine* (*Domain Model* sur la figure 2.2), qui contient les concepts, les règles et les stratégies pour résoudre des problèmes dans un domaine spécifique. Ce composant peut détecter et corriger les erreurs des apprenants. En général, l'information est divisée en séquences pédagogiques.
- Le composant *apprenant* (*Student Model* sur la figure 2.2), qui est le noyau du

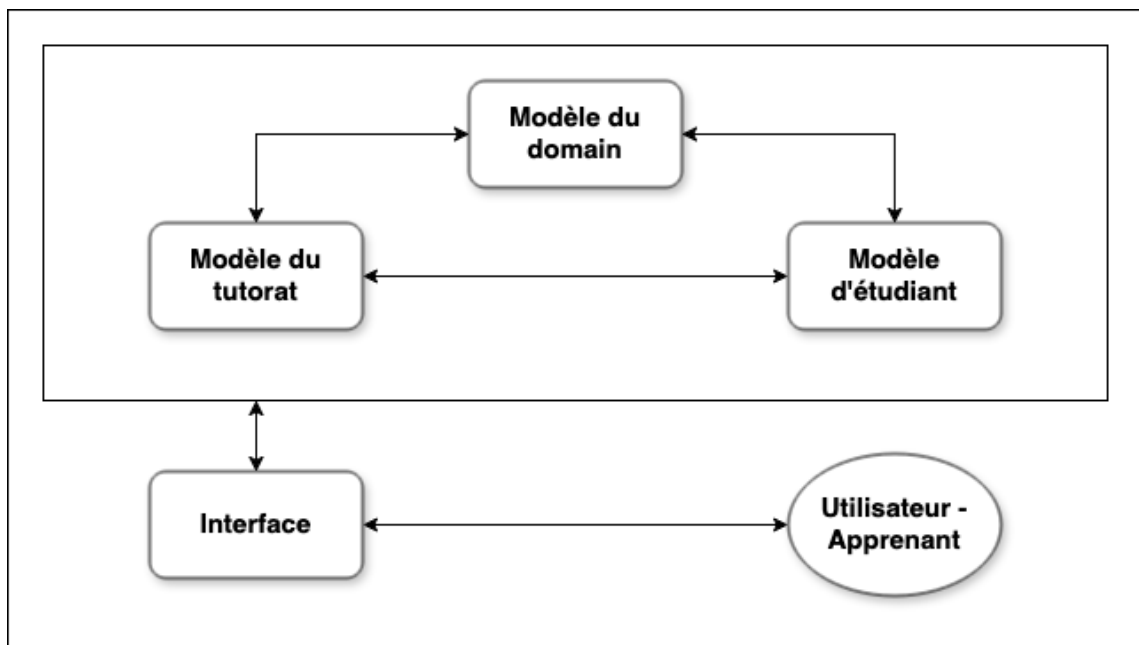


FIGURE 2.2 – L'architecture générale des EIAH, les composantes et leurs interactions (Traduit de [Nkambou et al., 2010])

système car il contient toute l'information utile à l'EIAH concernant l'apprenant (*User-Learner* sur la figure 2.2). Ce composant contient également les informations sur l'évolution de l'acquisition des compétences de l'apprenant. Ce module doit avoir les informations implicites et explicites pour pouvoir créer une représentation des connaissances acquises, non et partiellement acquises et l'évolution de l'apprentissage de l'apprenant. Ces informations doivent permettre de générer un diagnostic de l'état de la connaissance de l'apprenant, à partir duquel le système peut prédire les résultats dans certains domaines et choisir la stratégie optimale pour présenter les nouveaux contenus.

- L'*enseignant* (*Tutoring Model* sur la figure 2.2) est également modélisé sous la forme d'un composant. Il reçoit l'information des modules précédents, information grâce à laquelle il peut prendre des décisions sur le changement de parcours ou sur la stratégie d'apprentissage. Il peut également interagir avec l'apprenant.
- L'*interface* (*Interface* sur la figure 2.2) est le module chargé de la gestion des configurations de l'EIAH et des interactions entre ses composants.

Le développement et la configuration de ce type de systèmes relèvent de multiples disciplines et impliquent plusieurs domaines de recherche parmi lesquels figurent la pédagogie, l'éducation, la psychologie, les sciences cognitives et l'intelligence artificielle.

2.1.3/ L'EXERCISEUR INITIAL AI-VT

Le DISC travaille depuis plusieurs années sur l'utilisation potentielle de l'intelligence artificielle dans le cadre d'un exerciceur couvrant plusieurs domaines d'apprentissage. Cet exerciceur, appelé AI-VT (Artificial Intelligence Virtual Trainer) est fondé sur différents concepts d'intelligence artificielle et ses domaines d'application sont l'apprentissage de l'aïkido, des bases de l'algorithmique et de l'anglais. Un premier réseau de convolution

détermine les lacunes de l'apprenant en analysant les résultats de quelques exercices préliminaires. Puis un système de raisonnement à partir de cas distribué prend le relais et détermine une liste d'exercices à proposer en regard de ses lacunes et en tenant compte des séances qui ont déjà été proposées par le système à cet apprenant.

Dans le système AI-VT, une séance d'entraînement est proposée dans le cadre d'un cycle d'entraînement. Ainsi, un exercice proposé en première séance du cycle peut être reproposé ensuite dans une autre séance, afin de consolider les acquis et de remettre en mémoire certaines connaissances à l'apprenant. Une séance est entièrement consacrée à une seule et même compétence, déclinée en plusieurs sous-compétences. Des exercices dans différentes sous-compétences sont proposés à chaque séance. Les exercices d'une même sous-compétence sont regroupés. Un même exercice pouvant permettre de travailler deux sous-compétences différentes, un mécanisme de règlement des conflits a été implémenté dans AI-VT afin qu'un même exercice ne puisse être proposé plus d'une seule fois dans une même séance d'entraînement. Dans AI-VT, l'énoncé d'un exercice est constitué de deux parties : le contexte et la question. Cette structure modulaire permet d'associer plusieurs questions à un même contexte et inversement. Les réponses apportées par les apprenants à chaque exercice sont notées sur 10 points et le temps mis pour répondre à chaque question est comptabilisée. L'étudiant dispose d'une interface présentant un tableau de bord des exercices, sous-compétences et compétences qu'il ou elle a travaillé.

Pour l'apprentissage de l'Anglais, un robot est chargé d'énoncer les exercices de la séance. Au démarrage de cette thèse, les apprenants ont une liste personnalisée d'exercices proposée par le système AI-VT, mais c'est à l'enseignant de vérifier la validité des algorithmes/solutions proposés par les étudiants et d'identifier leurs difficultés. L'amélioration du système et de la personnalisation du parcours de l'apprenant implique une correction automatique des exercices et cela sans utiliser un entraînement spécifique à chaque exercice, mais cet objectif ne fait pas partie de cette thèse. La définition de profils d'apprenants par le recueil de traces reste également à travailler pour optimiser les aides et séances d'exercices.

Le système AI-VT a été implémenté en se fondant sur deux paradigmes de l'IA : la séance d'entraînement est construite par différents modules suivant la philosophie du raisonnement à partir de cas, et l'architecture logicielle a été modélisée selon un système multi-agents. Une présentation sommaire de ces deux paradigmes de l'IA sont présentés dans cette section, et celles-ci sont suivies de la présentation de différents algorithmes et fonctions implémentés dans l'EIAH AI-VT. Des états de l'art plus complets sur les EIAH et le RàPC sont présentés dans le chapitre suivant. Le système AI-VT, son architecture et les évolutions qui ont été réalisées sur celle-ci sont détaillés dans le chapitre 4.

2.2/ LE CONTEXTE TECHNIQUE

2.2.1/ LE RAISONNEMENT À PARTIR DE CAS (RÀPC)

Le raisonnement à partir de cas est un modèle de raisonnement fondé sur l'hypothèse que les problèmes similaires ont des solutions similaires. Ainsi, les systèmes de RàPC infèrent une solution à un problème posé à partir des solutions mises en œuvre auparavant pour résoudre d'autres problèmes similaires [Roldan Reyes et al., 2015].

Un cas est défini comme étant la représentation d'un problème et la description de sa solution. Les cas résolus sont stockés et permettent au système de RàPC de construire de nouveaux cas à partir de ceux-ci. Formellement, si P est l'espace des problèmes et S l'espace des solutions, alors un problème x et sa solution y appartiennent à ces espaces : $x \in P$ et $y \in S$. Si y est solution de x alors, un cas est représenté par le couple $(x, y) \in P \times S$. Le RàPC a besoin d'une base de N problèmes et de leurs solutions associées. Cette base est appelée base de cas. Ainsi tout cas d'indice $n \in [1, N]$ de cette base de cas est formalisé de la manière suivante : (x^n, y^n) . L'objectif du RàPC est, étant donné un nouveau problème x^z de trouver sa solution y^z en utilisant les cas stockés dans la base de cas [Lepage et al., 2020].

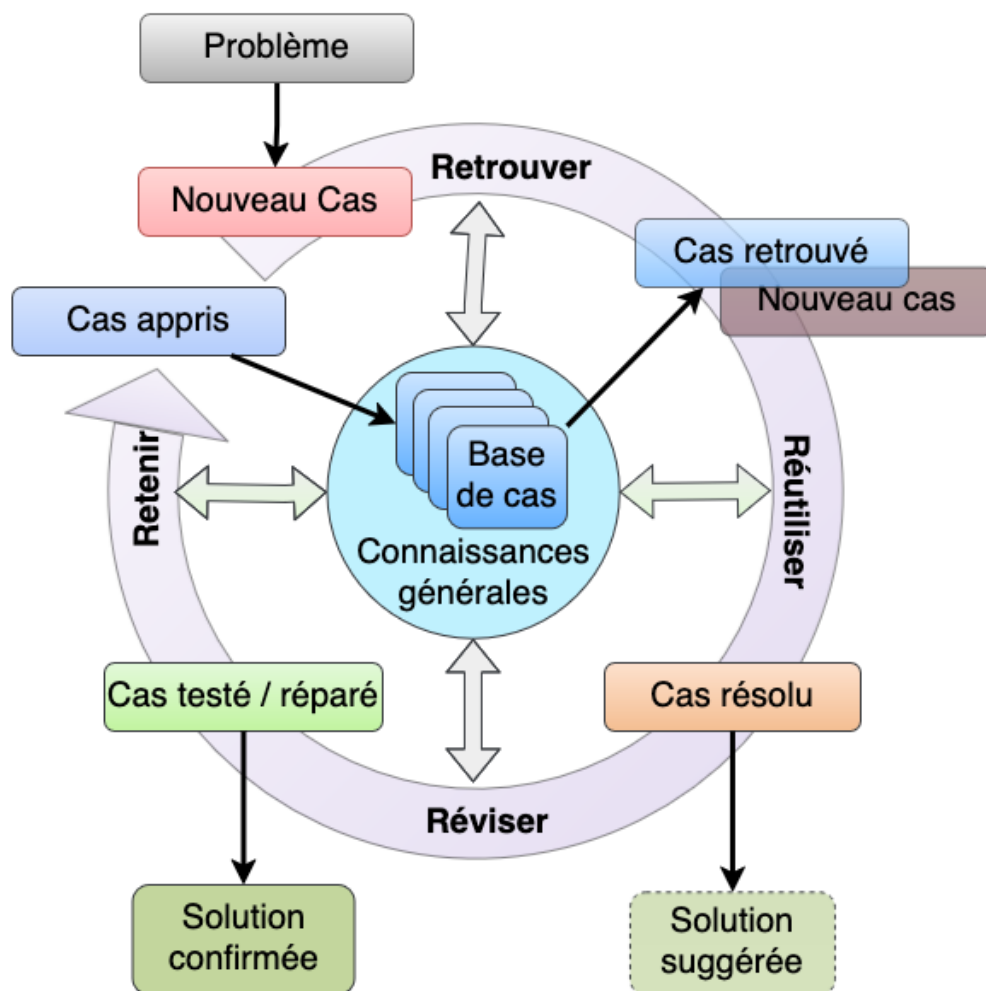


FIGURE 2.3 – Cycle fondamental du raisonnement à partir de cas (Adapté et traduit de [Leikola et al., 2018])

Le processus du RàPC est divisé en quatre étapes formant un cycle comme l'ont proposé Aamont et Plaza [Aamodt and Plaza, 1994]. La figure 2.5 montre le cycle, le flux d'informations ainsi que les relations entre chacune des étapes [Leikola et al., 2018] : re-

trouver (rechercher), réutiliser (adapter), réviser et retenir (stocker). Chacune des étapes est décrite dans [Richter and Weber, 2013] de la manière suivante.

2.2.1.1/ RETROUVER (RECHERCHER)

L'objectif de cette étape est de rechercher dans la base de cas, les cas similaires à un nouveau cas donné. Cette similarité n'est pas un concept général, mais dépend du contexte, de l'objectif et du type de données. La question fondamentale qui se pose dans cette étape est : quel est le cas le plus approprié dans la base de cas qui permet de réutiliser sa solution pour résoudre le nouveau problème donné ?.

Le nouveau cas est comparé à chaque cas de la base afin d'en évaluer la similitude. La comparaison entre les cas est différente selon la structure de la base et la manière dont les problèmes sont décrits dans celle-ci. Généralement, un problème est représenté par un ensemble d'attributs aux valeurs spécifiques. Cette représentation est connue comme la représentation attribut-valeur. La similitude entre deux cas de ce type est calculée suivant l'équation 2.1. La similitude entre deux cas attribut-valeur $c_1 = a_{1,1}, a_{1,1}, \dots, a_{1,n}$ et $c_2 = a_{2,1}, a_{2,1}, \dots, a_{2,n}$ est la somme pondérée des similitudes entre les attributs considérés individuellement. La pondération détermine l'importance de chaque attribut.

$$\sum_{i=1}^n \omega_i \text{sim}(a_{1,i}, a_{2,i}) \quad (2.1)$$

Dans cette étape, il est possible de sélectionner k différents cas similaires au nouveau cas donné.

2.2.1.2/ RÉUTILISER (ADAPTER)

L'idée du RàPC est d'utiliser l'expérience pour essayer de résoudre de nouveaux cas (problèmes). La figure 2.4 montre le principe de réutilisation d'un cas (problème) résolu (appelé *cas source*) auparavant pour le proposer en solution d'un nouveau cas (dénommé *cas cible*) après adaptation.

Si certains cas cibles sont très similaires au cas source le plus proche, il est cependant souvent nécessaire d'adapter la solution du cas source le plus similaire afin d'arriver à une solution satisfaisante pour le cas cible. De la même manière que pour la phase de recherche du cas le plus similaire, il existe de nombreuses stratégies d'adaptation. Celles-ci dépendent de la représentation des cas, du contexte dans lequel le RàPC est mis en œuvre et des algorithmes utilisés pour l'adaptation. L'une des stratégies les plus utilisées est la définition d'un ensemble de règles transformant la ou les solutions des cas sources les plus similaires au cas cible. L'objectif ici est d'inférer une nouvelle solution y^z du cas x^z à partir des k cas sources retrouvés dans la première étape.

2.2.1.3/ RÉVISER ET RÉPARER

La solution adaptée proposée doit ensuite être évaluée et révisée afin de satisfaire certains critères de validation. L'étape de révision est chargée d'évaluer l'applicabilité de la

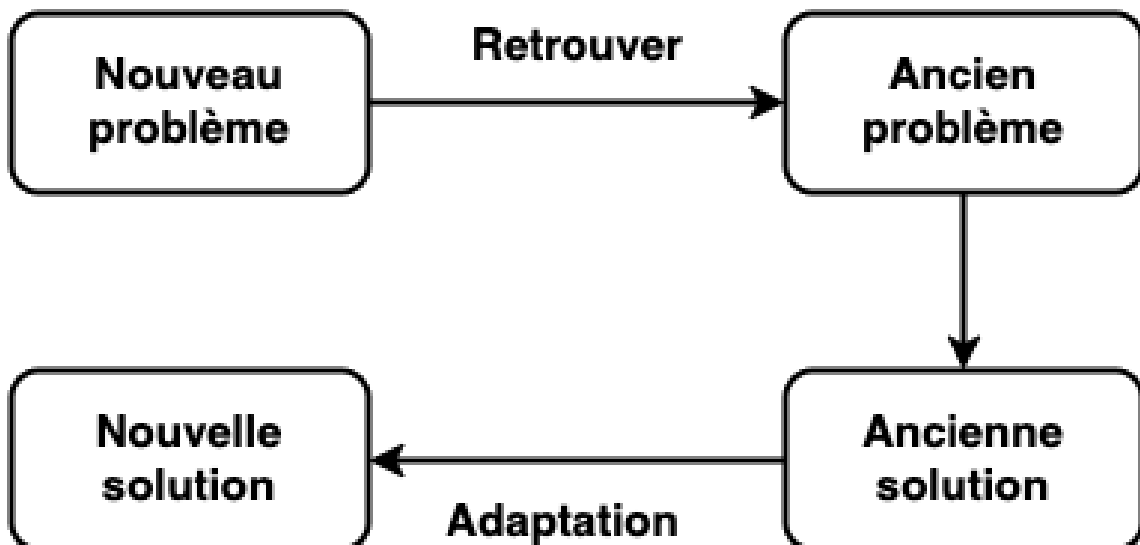


FIGURE 2.4 – Principe de réutilisation dans le RàPC (Traduit de [Richter and Weber, 2013])

solution cible obtenue suite à l'étape 'adaptation'. Cette évaluation peut être réalisée dans le monde réel ou dans une simulation.

L'objectif de cette phase de révision est la validation du couple (x^z, y^z) . Autrement dit, le but est ici de vérifier si la solution trouvée y^z résout le problème x^z et satisfait les règles de validité et d'applicabilité. Si la solution n'est pas correcte, l'expert mettant en œuvre la solution doit ajuster ou modifier la solution cible proposée.

Le processus d'évaluation, de révision et de réparation peut être mis en œuvre via un processus d'apprentissage permettant d'améliorer la détection et la correction des failles des futures solutions générées. Dans les travaux de cette thèse, nous avons envisagé la possibilité d'utiliser différents outils d'apprentissage pour évaluer et réviser les solutions cibles dans certains cas particuliers.

L'évaluation peut être faite :

- par un expert humain capable d'évaluer la solution et sa pertinence dans le contexte applicatif,
- par un système fonctionnant en production et renvoyant le résultat de l'application de la solution,
- par un modèle statistique ou un système de test.

La correction des solutions peut être automatique, mais elle dépend du domaine et de l'information disponible. Un ensemble de règles peut aider à identifier les solutions non valides.

2.2.1.4/ RETENIR (STOCKER)

Si le cas cible résolu est jugé pertinent, alors celui-ci peut être stocké dans la base de cas pour aider ensuite à la résolution de futurs cas cible. La décision de stocker ou non un nouveau cas dans la base de cas doit tenir compte de la capacité de cette nouvelle base de cas à proposer de futures solutions pertinentes, évaluer et corriger les solutions

cibles générées d'une part, et maintenir une base de cas d'une taille ne gaspillant pas inutilement des ressources de stockage et de calculs du système de RàPC d'autre part.

2.2.1.5/ CONTENEURS DE CONNAISSANCE

Pour pouvoir exécuter le cycle complet, le RàPC dépend de quatre sources différentes d'information. Ces sources sont appelées les conteneurs de connaissances par [Richter, 2009]. Cet article définit les conteneurs suivants dans les systèmes de RàPC : le conteneur de cas, le conteneur d'adaptation, le conteneur du vocabulaire et le conteneur de similarité :

- Le conteneur de cas contient les expériences passées que le système peut utiliser pour résoudre les nouveaux problèmes. L'information est structurée sous la forme d'un couple (p, s) , où p est la description d'un problème et s est la description de sa solution.
- Le conteneur d'adaptation stocke la ou les stratégies d'adaptation ainsi que les règles et paramètres nécessaires pour les exécuter.
- Le conteneur du vocabulaire contient l'information, sa signification et sa terminologie. Les éléments comme les entités, les attributs, les fonctions ou les relations entre les entités peuvent y être décrits.
- Le conteneur de similarité contient l'ensemble des connaissances liées et nécessaires au calcul de la similarité entre deux cas : les fonctions de calcul de similarité et les paramètres de mesure de similarité $sim(p_1, p_2)$ entre les cas p_1 et p_2 .

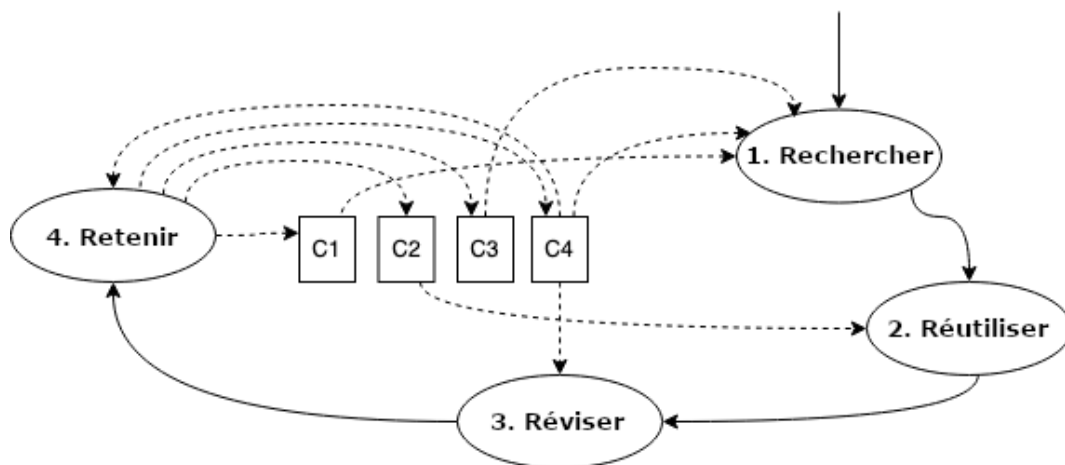
La figure 2.5 montre les flux d'informations entre les étapes du RàPC et les conteneurs. Les flèches continues de la figure 2.5 décrivent l'ordre dans lequel les phases du cycle du RàPC sont exécutées. Les flèches avec des lignes discontinues matérialisent les flux d'information, c'est-à-dire les liens entre les étapes du cycle et les conteneurs de connaissance.

2.2.2/ LES SYSTÈMES MULTI-AGENTS

Les systèmes multi-agents sont des systèmes conçus pour résoudre des problèmes en combinant l'intelligence artificielle et le calcul distribué. Ces systèmes sont composés de multiples entités autonomes appelées agents, qui ont la capacité de communiquer entre elles et également de coordonner leurs comportements [Hajduk et al., 2019].

Les agents ont les propriétés suivantes :

- Autonomie : les agents fonctionnent sans intervention externe des êtres humains ou d'autres entités, ils ont un mécanisme interne qui leur permet de contrôler leurs états.
- Réactivité : les agents ont la capacité de percevoir l'environnement dans lequel ils sont et peuvent réagir aux changements qui se produisent.
- Pro-activité : les agents peuvent effectuer des changements, réagir à différents stimuli provenant de leur environnement et s'engager dans un processus cognitif interne.
- Coopération : les agents peuvent communiquer les uns avec les autres, échanger des informations afin de se coordonner et résoudre un même problème.
- Apprentissage : il est nécessaire qu'un agent soit capable de réagir dans un en-



C1 - Conteneur de cas (Base de données)
C2 - Conteneur d'adaptation
C3 - Conteneur de Similarité
C4 - Conteneur de vocabulaire (Paramètres des modèles, Métriques, Évaluation des modèles)

FIGURE 2.5 – Cycle du RàPC, les étapes, les conteneurs et leurs flux de données

vironnement dynamique et inconnu, il doit donc avoir la capacité d'apprendre de ses interactions et ainsi améliorer la qualité de ses réactions et comportements.

Il existe quatre types d'agent en fonction des capacités et des approches :

- Réactif : c'est l'agent qui perçoit constamment l'environnement et agit en fonction de ses objectifs.
- Basé sur les réflexes : c'est l'agent qui considère les options pour atteindre ses objectifs et développe un plan à suivre.
- Hybride : il combine les deux modèles antérieurs en utilisant chacun d'eux en fonction de la situation et de l'objectif.
- Basé sur le comportement : l'agent a à sa disposition un ensemble de modèles de comportement pour réaliser certaines tâches spécifiques. Chaque comportement se déclenche selon des règles prédéfinies ou des conditions d'activation. Le comportement de l'agent peut être modélisé avec différentes stratégies cognitives de pensée ou de raisonnement.

2.2.3/ DIFFÉRENTS ALGORITHMES ET FONCTIONS IMPLÉMENTÉS DANS AI-VT POUR LA PERSONNALISATION ET L'ADAPTATION DES SÉANCES D'ENTRAÎNEMENT PROPOSÉES

2.2.3.1/ PENSÉE BAYESIENNE

D'après les travaux de certains mathématiciens et neuroscientifiques, toute forme de cognition peut être modélisée dans le cadre de la formule de Bayes (équation 2.2), car elle permet de tester différentes hypothèses et donner plus de crédibilité à celle qui est confirmée par les observations. Étant donné que ce type de modèle cognitif permet l'apprentissage optimal, la prédiction sur les événements passés, l'échantillonnage représentatif

et l'inférence d'information manquante ; il est appliqué dans quelques algorithmes de machine learning et d'intelligence artificielle [Hoang, 2018].

$$P(A|B) = \frac{P(B|A)P(A)}{P(B)} \quad (2.2)$$

La formule de Bayes calcule la probabilité a posteriori $P(A|B)$ de la plausibilité de la théorie A compte tenu des données B , et requiert trois termes : (1) une probabilité a priori $P(A)$ de la plausibilité de l'hypothèse A , (2) le terme $P(B|A)$ qui mesure la capacité de l'hypothèse A à expliquer les données observées B et (3) la fonction de partition $P(B)$ qui met en compétition toutes les hypothèses qui ont pu générer les données observées B . À chaque nouvelle évaluation de la formule, la valeur du terme a priori $P(A)$ est actualisée par la valeur du terme a posteriori $P(A|B)$. Ainsi, à chaque évaluation, le degré de plausibilité de chaque hypothèse est ajusté [Hoang, 2018].

Par la suite, nous explicitons quelques algorithmes, intégrés généralement dans l'étape "Rechercher" du RàPC, pour la recherche des cas les plus proches d'un nouveau cas.

2.2.3.2/ MÉTHODE DES K PLUS PROCHES VOISINS (K-NEAREST NEIGHBORHOOD - KNN)

Comme est défini dans [Cunningham and Delany, 2021], la méthode des 'k' plus proches voisins est une méthode pour classer des données dans des classes spécifiques. Pour faire cela, il est nécessaire de disposer d'une base de données avec des exemples déjà identifiés. Pour classer de nouveaux exemples, la méthode attribue la même classe que celle de leurs voisins les plus proches. Généralement, l'algorithme compare les caractéristiques d'une entité avec plusieurs possibles voisins pour essayer d'obtenir des résultats plus précis. 'k' représente le nombre de voisins, sachant que l'algorithme peut être exécuté à chaque fois avec un nombre différent de voisins.

Étant donné un jeu de données D constitué de $(x_i)_{i \in [1, n]}$ données (où $n = |D|$). Chacune des données est décrite par F caractéristiques qui sont des valeurs numériques normalisées $[0, 1]$, et par une classe de labellisation $y_j \in Y$. Le but est de classer une donnée inconnue q . Pour chaque $x_i \in D$, il est possible de calculer la distance entre q et x_i selon l'équation 2.3.

$$d(q, x_i) = \sum_{f \in F} w_f \delta(q_f, x_{if}) \quad (2.3)$$

La distance entre q et x_i est la somme pondérée de toutes les distances élémentaires *delta* calculées pour chaque caractéristique. La fonction de distance δ peut être une métrique générique. Pour des valeurs numériques discrètes il est possible d'utiliser la définition 2.4,

$$\delta(q_f, x_{if}) = \begin{cases} 0 & q_f = x_{if} \\ 1 & q_f \neq x_{if} \end{cases} \quad (2.4)$$

et si les valeurs sont continues l'équation 2.5.

$$\delta(q_f, x_{if}) = |q_f - x_{if}| \quad (2.5)$$

Un poids plus important est généralement attribué aux voisins les plus proches. Le vote pondéré en fonction de la distance est une technique couramment utilisée (équation 2.6).

$$N(a, b) = \begin{cases} 1 & a = b \\ 0 & a \neq b \end{cases} \quad (2.6)$$

Le vote est couramment calculé selon l'équation 2.7.

$$vote(y_i) = \sum_{c=1}^k \frac{1}{d(q, x_c)^p} N(y_j, y_c) \quad (2.7)$$

une autre alternative est basée sur le travail de Shepard, équation 2.8.

$$vote(y_i) = \sum_{c=1}^k e^{d(q, x_c)} N(y_j, y_c) \quad (2.8)$$

La fonction de distance peut être n'importe quelle mesure d'affinité entre deux objets, mais cette fonction doit répondre à quatre critères (équations 2.9).

$$\begin{aligned} d(x, y) &\geq 0 \\ d(x, y) &= 0, \text{ seulement si } x = y \\ d(x, y) &= d(y, x) \\ d(x, z) &\geq d(x, y) + d(y, z) \end{aligned} \quad (2.9)$$

2.2.3.3/ K-MOYENNES

Selon [Sinaga and Yang, 2020], K-Moyennes est un algorithme d'apprentissage utilisé pour partitionner et grouper des données. Considérons $X = \{x_1, \dots, x_n\}$ un ensemble de vecteurs dans un espace Euclidien \mathbb{R}^d , et $A = \{a_1, \dots, a_c\}$ où c est le nombre de groupes. Considérons également $z = [z_{ik}]_{n \times c}$, où z_{ik} est une variable binaire (i.e. $z_{ik} \in \{0, 1\}$) qui indique si une donnée x_i appartient au k -ème groupe, $k = 1, \dots, c$. La fonction bijective k-moyenne est définie selon l'équation 2.10.

$$J(z, A) = \sum_{i=1}^n \sum_{k=1}^c z_{ik} \|x_i - a_k\|^2 \quad (2.10)$$

Cet algorithme minimise la fonction objectif des k moyennes $J(z, A)$: à chaque itération, les termes a_k et z_{ik} sont calculés selon les équations 2.11 et 2.12.

$$a_k = \frac{\sum_{i=1}^n z_{ik} x_{ij}}{\sum_{i=1}^n z_{ik}} \quad (2.11)$$

$$z_{ik} = \begin{cases} 1 & \text{if } \|x_i - a_k\|^2 = \min_{1 \leq k \leq c} \|x_i - a_k\|^2 \\ 0, & \text{otherwise} \end{cases} \quad (2.12)$$

2.2.3.4/ MODÈLE DE MÉLANGE GAUSSIEN GMM (*Gaussian Mixture Model*)

Le modèle de mélange gaussien (GMM) est un modèle probabiliste composé de plusieurs modèles gaussiens simples. Ce modèle est décrit dans [Wang et al., 2021]. En considérant une variable d'entrée multidimensionnelle $x = \{x_1, x_2, \dots, x_d\}$, GMM multivarié est défini selon dans l'équation 2.13.

$$p(x|\theta) = \sum_{k=1}^K \alpha_k g(x|\theta_k) \quad (2.13)$$

Dans cette équation, K est le nombre de modèles gaussiens uniques dans GMM, également appelés composants ; α_k est la probabilité de mélange de la k -ème composante respectant la condition $\sum_{k=1}^K \alpha_k = 1$.

θ_k représente la valeur moyenne et la matrice de covariance de chaque modèle gaussien unique : $\theta_k = \{\mu_k, \Sigma_k\}$. Pour un seul modèle gaussien multivarié, nous avons la fonction de densité de probabilité $g(x)$ (équation 2.14).

$$g(x; \mu, \Sigma) = \frac{1}{(2\pi)^{n/2} |\Sigma|^{1/2}} \exp\left(-\frac{1}{2}(x - \mu)^T \Sigma^{-1} (x - \mu)\right) \quad (2.14)$$

La tâche principale est d'obtenir les paramètres α_k, θ_k pour tout k défini dans GMM en utilisant un ensemble de données avec N échantillons d'entraînement. Une solution classique pour l'estimation des paramètres requis utilise l'algorithme de maximisation des attentes (Expectation-Maximization EM), qui vise à maximiser la vraisemblance de l'ensemble de données. Il s'agit d'un algorithme itératif durant lequel les paramètres sont continuellement mis à jour jusqu'à ce que la valeur delta log-vraisemblance entre deux itérations soit inférieure à un seuil donné.

2.2.3.5/ FUZZY-C

Fuzzy C-Means Clustering (FCM) est un algorithme de clustering flou non supervisé largement utilisé [Xu et al., 2021]. Le FCM utilise comme mesure de distance la mesure euclidienne. Supposons d'abord que l'ensemble d'échantillons à regrouper est $X = \{x_1, x_2, \dots, x_n\}$, où $x_j \in R^d (1 \leq j \leq n)$ dans un espace Euclidien à d dimensions, et c le nombre de clusters. L'équation 2.15 montre la fonction objectif de FCM.

$$J(U, V) = \sum_{i=1}^c \sum_{j=1}^n u_{ij}^m (x_j - v_i)^T A (x_j - v_i) \quad (2.15)$$

où A est la matrice métrique, m est un nombre quelconque ($m > 1$) qui dénote le degré de flou, u_{ij} est le degré d'appartenance du j -ème échantillon x_j qui appartient au i -ème cluster, dont le centre est v_i . $U = (u_{ij})$, $V = [v_1, v_2, \dots, v_c]$, $1 \leq i \leq c, 1 \leq j \leq n, 2 \leq c < n$ satisfaisant les conditions de l'équation 2.16.

$$\sum_{i=1}^c u_{ij} = 1, u_{ij} \geq 0 \quad (2.16)$$

Pour compléter le modèle, les équations de mise à jour pour le centre du cluster v_i (équation 2.17) et des degrés d'appartenance u_{ij} (équation 2.18) sont définies.

$$v_i = \frac{\sum_{j=1}^n u_{ij}^m x_j}{\sum_{j=1}^n u_{ij}^m} \quad (2.17)$$

$$u_{ij} = \frac{((x_j - v_i)^T A (x_j - v_i))^{\frac{2}{m-1}}}{\left(\sum_{h=1}^c (x_j - v_h)^T A (x_j - v_h)\right)^{\frac{2}{m-1}}} \quad (2.18)$$

Les algorithmes qui se trouvent dans la suite de cette section sont des algorithmes qui font partie de l'intelligence artificielle et sont utilisés dans certains EIAH pour améliorer les recommandations, essayer de corriger et de détecter les faiblesses des apprenants de façon automatique.

2.2.3.6/ BANDIT MANCHOT MAB (*Multi-Armed Bandits*)

Dans [Gupta et al., 2021] MAB est décrit comme un problème qui appartient au domaine de l'apprentissage par renforcement. Celui-ci représente un processus de prise de décision séquentielle dans des instants t de temps, où un utilisateur doit sélectionner une action $k_t \in K$ à réaliser dans un ensemble K fini d'actions possibles et donnant une récompense inconnue de l'utilisateur. L'objectif est de maximiser la récompense cumulée globale dans le temps. La clé pour trouver une solution au problème est de trouver l'équilibre optimal entre l'exploration (exécuter des actions inconnues pour collecter de l'information complémentaire) et l'exploitation (continuer à exécuter les actions déjà connues pour cumuler plus de gains). L'un des algorithmes utilisés pour résoudre ce problème c'est l'échantillonnage de Thompson.

2.2.3.7/ ÉCHANTILLONNAGE DE THOMPSON TS (*Thompson Sampling*)

Comme indiqué dans [Lin, 2022], l'algorithme d'échantillonnage de Thompson est un algorithme de type probabiliste utilisé généralement pour résoudre le problème MAB. Il s'appuie sur un modèle Bayésien dans lequel une distribution de probabilités *Beta* est initialisée. Cette distribution de probabilités est ensuite affinée de manière à optimiser la valeur résultat à estimer. Les valeurs initiales des probabilités de Beta sont définies sur l'intervalle $[0, 1]$. Elle est définie à l'aide de deux paramètres α et β .

L'échantillonnage de Thompson peut être appliqué à la résolution du problème du Bandit Manchot(MAB). Dans ce cas, les actions définies dans le MAB ont chacune une incidence sur la distribution de probabilités Beta de l'échantillonnage de Thompson. Pour chaque action de MAB, les paramètres de Beta sont initialisés à 1. Ces valeurs changent et sont calculées à partir de récompenses obtenues : si au moment d'exécuter une action spécifique le résultat est un succès, alors la valeur du paramètre α de sa distribution Beta augmente mais si le résultat est un échec alors c'est la valeur du paramètre β de sa distribution Beta qui augmente. De cette façon, la distribution pour chacune des actions possibles est ajustée en privilégiant les actions qui génèrent le plus de récompenses.

L'échantillonnage de Thompson est un cas particulier de la loi de Dirichlet comme le montre la figure 2.6. L'équation 2.19 décrit formellement la famille des courbes générées

par la distribution Beta.

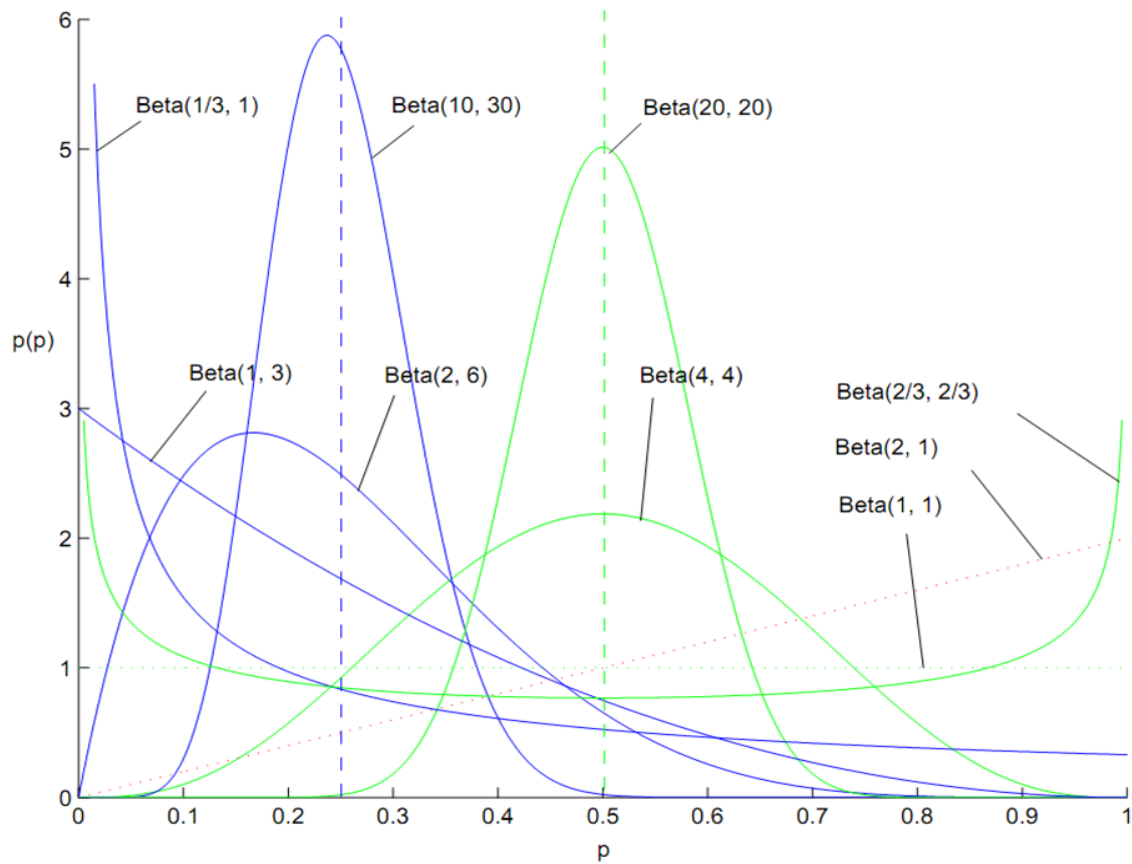


FIGURE 2.6 – Comportement de la distribution Beta avec différentes valeurs de paramètres α et β

$$B(x, \alpha, \beta) = \begin{cases} \frac{x^{\alpha-1}(1-x)^{\beta-1}}{\int_0^1 u^{\alpha-1}(1-u)^{\beta-1} du} & \text{pour } x \in [0, 1] \\ 0 & \text{sinon} \end{cases} \quad (2.19)$$

La section suivante présente un état de l'art plus détaillé des EIAH et des systèmes de RàPC dédiés aux EIAH.



ÉTAT DE L'ART

ENVIRONNEMENTS INFORMATIQUES D'APPRENTISSAGE HUMAIN

Ce chapitre présente les travaux sur les EIAH en lien avec le travail de cette thèse. Les EIAH référencés dans cet état de l'art sont classés selon le thème principal abordé.

3.1/ L'INTELLIGENCE ARTIFICIELLE

L'intelligence artificielle a été appliquée avec succès au domaine de l'éducation dans plusieurs écoles de différents pays et pour l'apprentissage de l'informatique, les langues étrangères et les sciences. [Zhang. and Aslan, 2021] référence un grand nombre de travaux sur la période de 1993-2020. Cet article montre que les besoins et contraintes des EIAH ne sont pas différentes selon l'âge, le niveau culturel, ou le niveau éducatif des apprenants. Cet article montre également qu'il est possible d'adapter la stratégie d'apprentissage pour n'importe qui et maximiser le rendement et acquisition des connaissances grâce à différentes techniques d'intelligence artificielle. **Utilité des deux phrases suivantes ?** Par ailleurs, les représentations et algorithmes peuvent changer et évoluer. Aujourd'hui il y a encore beaucoup de potentiel pour développer encore les capacités de calcul et d'adaptation.

[Chiu et al., 2023] présente une révision des travaux d'intelligence artificielle appliquée à l'éducation extraits des bases de données bibliographiques ERIC, WOS et Scopus sur la période 2012-2021. Ce travail est focalisé sur les tendances et les outils employés pour aider le processus d'apprentissage. Une classification des contributions de l'IA est faite, fondée sur 92 travaux scientifiques. Les contributions et l'utilité des outils d'IA implémentés dans les EIAH évalués dans cet article sont évaluées dans les quatre domaines suivants : l'apprentissage, l'enseignement, l'évaluation et l'administration. Pour l'apprentissage, l'IA est généralement utilisée pour attribuer des tâches en fonction des compétences individuelles, fournir des conversations homme-machine, analyser le travail des étudiants pour obtenir des commentaires et accroître l'adaptabilité et l'interactivité dans les environnements numériques. Pour l'enseignement, des stratégies d'enseignement adaptatives peuvent être appliquées pour améliorer la capacité des enseignants à enseigner et soutenir le développement professionnel des enseignants. Dans le domaine de l'évaluation, l'IA peut fournir une notation automatique et prédire les performances des élèves. Enfin, dans le domaine de l'administration, l'IA contribue à améliorer la performance des plateformes de gestion, à soutenir la prise de décision pédagogique et

à fournir des services personnalisés. Cet article met également en lumière les lacunes suivantes de l'IA :

- Les ressources recommandées par les plateformes d'apprentissage personnalisées sont trop homogènes,
- les données nécessaires pour les modèles d'IA sont très spécifiques,
- le lien entre les technologies et l'enseignement n'est pas bien clair. En effet, la plupart des travaux sont conçus pour un domaine ou un objectif très spécifique difficilement généralisable,
- l'inégalité éducative car les technologies ne motivent pas tous les types d'élèves et parfois il y a des attitudes négatives envers l'IA parfois difficile à maîtriser et à intégrer dans les cours.

Les techniques d'IA peuvent aussi aider à prendre des décisions stratégiques visant des objectifs à longue échéance comme le montre le travail de [Robertson and Watson, 2014]. Les jeux de stratégie présentent en effet plusieurs particularités singulières. Ils contiennent plusieurs règles et des environnements contraints. Ils nécessitent de mettre en œuvre des actions et réactions en temps réel. Ils intègrent des aléas et des informations cachées. Les techniques principales identifiées et implémentées dans ces jeux de stratégie sont l'apprentissage par renforcement, les modèles bayésiens, la recherche dans une arborescence, le raisonnement à partir de cas, les réseaux de neurones et les algorithmes évolutifs. Il est également important de noter que la combinaison de ces techniques permet dans certains cas d'améliorer le comportement global des algorithmes et d'obtenir de meilleures réponses.

3.2/ SYSTÈMES DE RECOMMANDATION DANS LES EIAH

Des systèmes de recommandation sont régulièrement intégrés aux EIAH. Ils permettent en effet de tenir compte des exigences, des besoins, du profil, des talents, des intérêts et de l'évolution de l'apprenant pour s'adapter et recommander des ressources ou des exercices dans le but d'améliorer l'acquisition et la maîtrise de concepts et des connaissances en général. L'adaptation de ces systèmes peut être de deux types [Muangprathub et al., 2020] :

- l'adaptation de la présentation qui montre aux apprenants les ressources en concordance avec leurs faiblesses et
- l'adaptation de la navigation qui change la structure du cours en fonction du niveau et style d'apprentissage de chaque apprenant.

Ces systèmes montrent des effets positifs pour les apprenants comme le révèle le travail de [Huang et al., 2023] qui utilise l'IA pour personnaliser des recommandations de ressources en vidéo et ainsi aider et motiver les apprenants. L'évolution des résultats entre les tests préliminaires et ceux réalisés après la finalisation du cours des groupes ayant suivi les cours avec et sans système de recommandation démontrent cet effet positif. La figure 3.1 montre l'architecture du système où l'intelligence artificielle est utilisée dans différentes étapes du processus avec les données de l'apprenant sous la supervision et contrôle du professeur.

Le travail de [Seznec et al., 2020] propose un modèle générique de recommandation qui peut être utilisé dans les systèmes de recommandation de produits ou les systèmes d'apprentissage. Ce modèle est fondé sur l'algorithme par renforcement UCB (*Upper Confidence Bound*) qui permet de trouver une solution approchée à une variante du problème

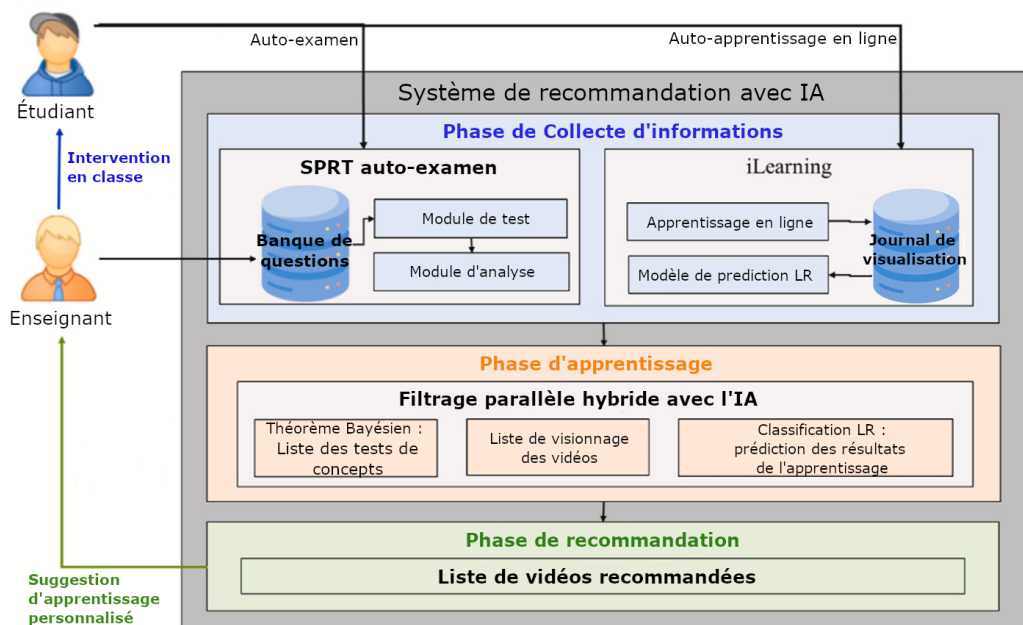


FIGURE 3.1 – Traduction de l'architecture du système de recommandation proposé dans [Huang et al., 2023]

Bandit manchot non stationnaire (MAB, présenté dans la section ?? de ce manuscrit), où les récompenses de chaque action diminuent progressivement après chaque utilisation. Pour valider le modèle, une comparaison avec trois autres algorithmes a été menée en considérant une base de données réelle. La performance du système a été démontrée en se fondant sur la moyenne accumulée du regret et la moyenne de la récompense accumulée.

Aussi [Ingkavara et al., 2022] met en évidence que les technologies et les systèmes de recommandation peuvent s'adapter à différents besoins et aspirations et qu'ils peuvent également favoriser l'apprentissage auto-régulé. Ce type d'apprentissage aide les apprenants à acquérir les habilités pour diminuer les délais de réponse et devenir plus performants. Ce type d'apprentissage permet de définir des objectifs variables dans un environnement structuré, également d'adapter le temps nécessaire à l'acquisition et la maîtrise de connaissances et de compétences. De plus, avec les systèmes de recommandation est possible d'avoir accès à des ressources et ainsi constituer un excellent outil pour le renforcement des connaissances acquises.

L'IA est utilisée pour l'apprentissage adaptatif afin de suggérer des ressources d'étude dans le travail de [Lalitha and Sreeja, 2020]. Le système proposé par ces auteurs intègre un module de personnalisation qui collecte l'information de l'apprenant et ses exigences, un module de classification qui compare l'information avec d'autres profils en utilisant l'algorithme KNN et un module de recommandation chargé d'identifier les ressources communes entre les profils afin d'en extraire des informations complémentaires provenant d'Internet. Ce système inclut également un algorithme *Random Forest* pour améliorer le processus d'apprentissage du nouvel apprenant. Les techniques et les stratégies sont très variées mais l'objectif est de s'adapter aux apprenants et à leurs besoins. Dans [Zhao et al., 2023] les données des apprenants sont collectées et classées dans des groupes présentant des caractéristiques similaires. Ensuite, la méthode d'analyse

par enveloppement des données (DEA) permet d'identifier les besoins spécifiques de chaque groupe et ainsi proposer un parcours d'apprentissage personnalisé.

La représentation des données des enseignants, des apprenants et l'environnement sont des aspects particulièrement importants à considérer dans l'implémentation de ces systèmes de recommandation. Ces aspects influencent en effet les performances globales des EIAH dans lesquels ils sont intégrés. La proposition de [Su et al., 2022] consiste à stocker les données des apprenants dans deux graphes évolutifs qui contiennent les relations entre les questions et les réponses correctes ainsi que les réponses données par les apprenants. Ces informations et relations permettent de construire un graphe global propre à chaque apprenant et donnant une information sur son état cognitif et ainsi de personnaliser son parcours. Dans [Muangprathub et al., 2020] définit dans son EIAH trois ensembles de concepts :

- les objets (G),
- les attributs (M) et
- les relations entre G et M.

L'originalité de ce travail consiste à analyser ces concepts en via l'approche FCA (*Formal Context Analysis*). Ce type de représentation permet de mettre en relation les ressources d'étude, les questions et les sujets. En conséquence, si un apprenant étudie un sujet S_1 et si une règle relie S_1 au sujet S_4 ou la question $Q_{3,4}$, alors le système peut suggérer l'étude des ressources d'étude associés au sujet S_4 ou aux questions reliées par les règles. Par ailleurs, cet algorithme se fonde sur une structure du cours prédéfinie pour recommander un parcours exhaustif d'apprentissage.

[Zhou and Wang, 2021] propose un système de recommandation pour personnaliser des exercices pour l'apprentissage de l'anglais. Le système décrit contient un module principal qui représente les apprenants comme des vecteurs selon le modèle DINA où sont stockés les points de connaissance acquise. Le vecteur de connaissances K est de dimension n ($K = \{k_1, k_2, \dots, k_n\}$) où chaque dimension correspond à un point de connaissance. Ainsi, $k_i = 1$ signifie que l'apprenant maîtrise le point de connaissance k_i . A contrario, $k_i = 0$ signifie que l'apprenant doit étudier le point de connaissance k_i car non acquise. La recommandation des questions proposées par le système se sert par ailleurs d'une librairie de ressources associées à chacune des questions possibles et permettant à l'apprenant de renforcer son apprentissage et d'avancer dans le programme du cours.

Certains travaux de recommandation et de personnalisation considèrent des variables complémentaires aux notes. C'est le cas de l'EIAH proposé par [Ezaldeen et al., 2022], qui lie l'analyse du comportement de l'apprenant à une analyse sémantique de son propre profil. La première étape consiste à collecter les données nécessaires pour créer un profil de l'apprenant. Fort de ce profil complet, des associations sont faites entre l'apprenant et un groupe de catégories d'apprentissages prédéfinies. Les apprentissages sont regroupés selon ses préférences et les données historiques. Puis les concepts associés pour les catégories sont recherchés et permettent ainsi de générer un guide pour obtenir des ressources internet qu'il est possible de recommander. Le système est divisé en quatre niveaux représentés sur la figure 3.2 où chacun des niveaux est chargé d'une tâche spécifique. Les résultats d'un niveau sont envoyés au niveau suivant jusqu'à arriver aux recommandations personnalisées pour l'apprenant.

Je ne saisis pas l'idée de ce paragraphe. À reformuler ensemble Une limitation générale qui présentent les algorithmes d'IA dans les EIAH est que ce type d'algorithmes

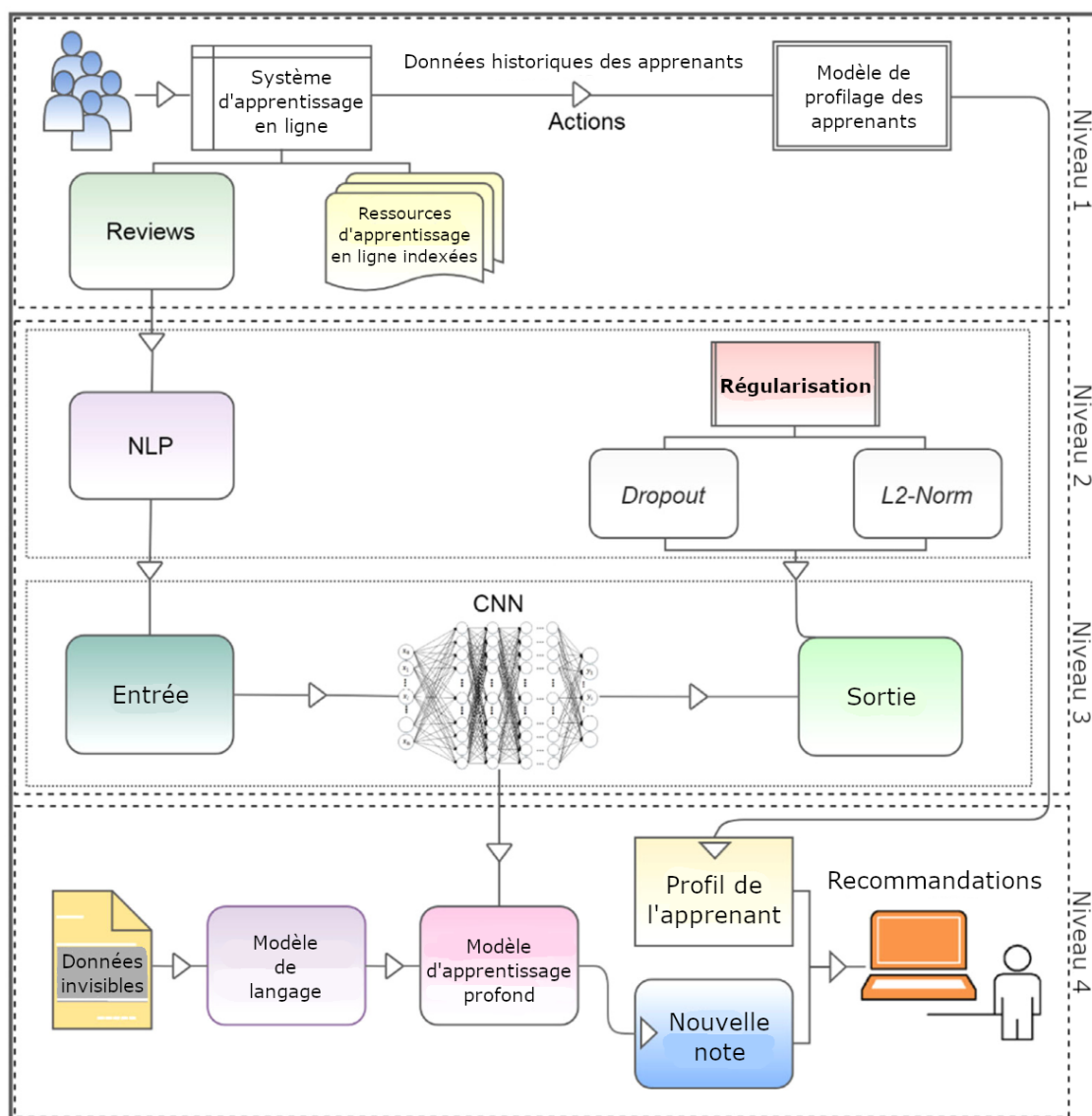


FIGURE 3.2 – Traduction des niveaux du système de recommandation dans [Ezaldeen et al., 2022]

ne permettent pas d'oublier l'information avec laquelle ils ont été entraînés, une propriété nécessaire pour les EIAH dans certaines situations où peut se produire un dysfonctionnement du système, la réévaluation d'un apprenant ou la restructuration d'un cours.

Le tableau 3.1 présente un récapitulatif des articles analysés dans l'état de l'art des EIAH. Il est intéressant de présenter ce tableau, mais je pense qu'il faut que tu commentes ce tableau en prenant le lecteur par la main et en l'aidant à en retenir les informations importantes

Référence	Limites et faiblesses
[Zhang. and Aslan, 2021]	Niveau global d'application de EIAH. Analyse des effets de l'IA
[Chiu et al., 2023]	Aspects non cognitifs en IA. Motivation des apprenants
[Robertson and Watson, 2014]	Peu de test. Pas de standard d'évaluation
[Huang et al., 2023]	Recommandation en fonction de la motivation seulement. N'est pas général pour tous les apprenants
[Seznec et al., 2020]	Le modèle n'a pas été testé avec données d'étudiants. UCB prends beaucoup de temps pour explorer les alternatives
[Ingkavara et al., 2022]	Modèle très complexe. Définition de constantes subjectif et beaucoup de variables.
[Lalitha and Sreeja, 2020]	A besoin de beaucoup de données pour entraînement. Ne marche pas dans le cas 'cold-start', n'est pas totalement automatisé
[Su et al., 2022]	Estimation de la connaissance de façon subjective. Il est nécessaire une étape d'entraînement
[Muangprathub et al., 2020]	Structure des règles complexe. Définition de la connaissance de base complexe
[Zhou and Wang, 2021]	Utilisation d'un filtre collaboratif sans stratification. Utilisation d'une seule métrique de distance
[Ezaldeen et al., 2022]	Il n y a pas de comparaison avec d'autres modèles différents de CNN. Beaucoup de variables à valeurs subjectives

TABLE 3.1 – Tableau de synthèse des articles analysés dans l'état de l'art des EIAH

ÉTAT DE L'ART (RAISONNEMENT À PARTIR DE CAS)

4.1/ RAISONNEMENT À PARTIR DE CAS (RÀPC)

Le raisonnement à partir de cas est une approche fondée sur la connaissance, est une technique d'intelligence artificielle dont l'idée est de résoudre un nouveau problème donné en utilisant l'analogie avec les connaissances déjà acquises par le système. Le RàPC est apparue comme une alternative pour améliorer les systèmes experts. Initialement en 1977 les travaux de Shank et Abelson [Schank and Abelson, 1977] sur l'organisation hiérarchique de la mémoire pour imiter le raisonnement humain ont permis d'implémenter un système à Kolodner [Kolodner, 1983] en l'année 1983 pour arriver au terme RàPC en 1989 dans le travail de Riesbeck et Shank [C.K. and R.C., 1989].

Le raisonnement à partir de cas a été utilisé dans différents domaines comme : médecine, conception de produits, sports, systèmes de recommandation, etc. En médecine a été appliqué pour explorer et aider la prise de décisions des médecins dans les traitements qui requièrent administration de doses précises selon les cas et les patients, [Petrovic et al., 2016] propose un algorithme de raisonnement à partir de cas qui indique quel est la dose correcte de radiation pour le traitement du cancer. Pour administrer une dose de radiothérapie il est nécessaire de connaître avec précision deux paramètres : le nombre de faisceaux et l'angle de chacun d'eux. L'algorithme proposé essaie de trouver la valeur optimal pour la combinaison des deux paramètres en utilisant les réseaux de neurones et l'adaptation des cas connus pour changer le nombre de faisceaux et adapter le angle de chaque faisceau. La validation de l'algorithme est évaluée avec une base de 80 cas réels de cancer du cerveau extraits de l'hôpital de Nottingham City, le nombre de neurones et couches a été changé de façon empirique. Les résultats montrent que l'utilisation des cas historiques et la construction des solutions à partir des solutions déjà connues atteint une amélioration de 12% dans les cas du nombre de faisceaux et 29% dans les cas de l'angle des faisceaux.

Plusieurs travaux ont obtenu de bons résultats en appliquant le RàPC avec des modifications dans chacune des phases ou en combinant différents algorithmes au design de produits. [Roldan Reyes et al., 2015] propose comme le montre la figure 4.1 un algorithme pour produire propylène glycol dans un réacteur chimique, dans ce cas la phase de réutilisation du RàPC est mélangée avec la recherche des états qui satisfassent le nouveau problème (Constraint satisfaction problems CSP) en utilisant l'information des cas de base déjà résolus. Les solutions trouvées sont évaluées selon le nombre de chan-

gements faits aux solutions déjà connues (Parcimonie), le nombre de possibles solutions trouvées (Accuracy), l'évaluation de commentaires faits par des experts et la complexité des transformations réalisées. Il n'est pas obligatoire de modifier tout le cycle du RàPC pour l'adapter à une problématique spécifique, comme [Jung et al., 2009] qui développe un système basé sur l'hybridation du RàPC avec des réseaux de neurones pour concevoir des produits, le système se focalise uniquement dans les phases de rechercher et réutiliser du RàPC où sont exécutés les algorithmes implémentés. Le système détermine de façon automatique les valeurs pour les paramètres nécessaires à la conception de un produit particulier en suivant le cycle traditionnel du RàPC. Avec l'algorithme de k-moyennes est extrait un cas représentatif de la base de cas et l'adaptation des solutions des voisins trouvées est faite avec le réseau de neurones RBFN. Avec 830 test, les nouveaux cas très similaires aux cas de la base initiale est obtenu un bon design en 99.4% des cas, pour les cas dissemblables le pourcentage est de 94.8%. Le RàPC peut être utilisé aussi comme outil secondaire pour aider d'autres algorithmes à trouver la bonne configuration, dans [Butdee and Tichkiewitch, 2011] est implémenté un réseau de neurones classique pour designer la géométrie d'une matrice pour l'extrusion de l'aluminium, car actuellement c'est un processus qui se fait manuellement par essai et erreur. Le RàPC ici est utilisé pour aider à déterminer les valeurs optimales des paramètres du réseau.

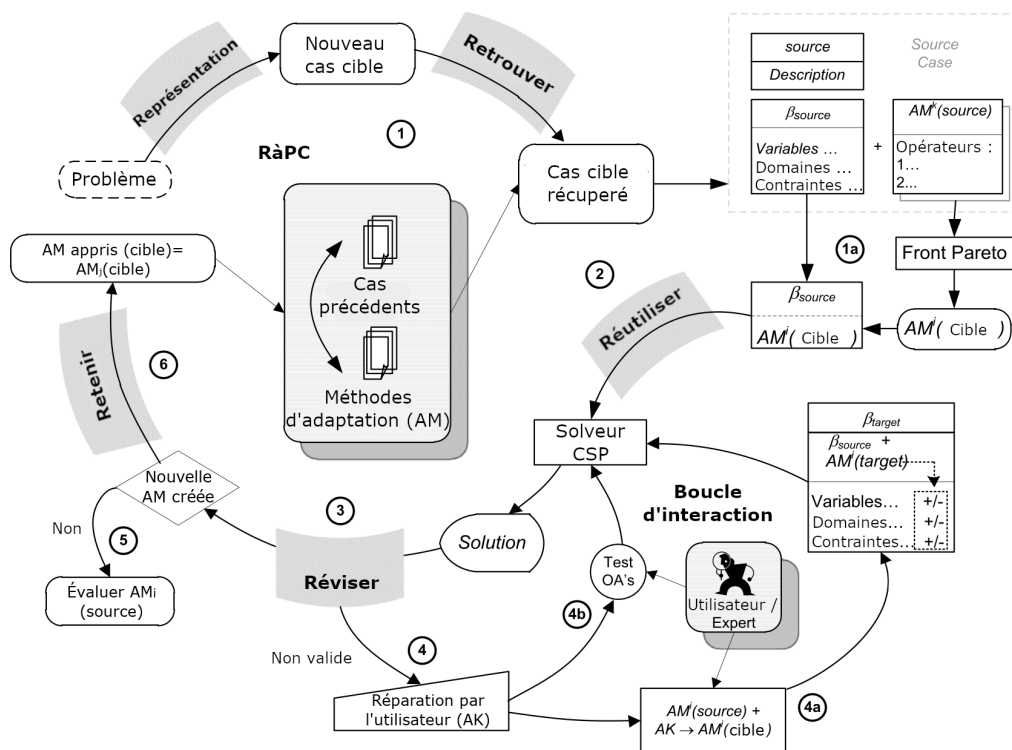


FIGURE 4.1 – Cycle du RàPC modifié. (Traduit de [Roldan Reyes et al., 2015])

L'une des problématiques la plus représentative et la plus fondamentale de l'utilisation du RàPC est la création de recettes de cuisine à partir de une base de ingrédients et d'un ensemble de recettes déjà connues, mais malgré l'apparente simplicité du problème il y a beaucoup de variations et modèles, dans [Grace et al., 2016] est abordée cette problématique, mais en additionnant un nouveau cycle au cycle traditionnel du RàPC. Le pre-

mier cycle génère des descriptions abstraites du problème avec un réseau de neurones et algorithmes génétiques ; le seconde cycle prend les descriptions abstraites comme nouveaux cas, cherche les cas similaires et adapte les solutions rencontrées. L'exécution des deux cycles considère certains critères prédéfinis par l'utilisateur. En comparant le même problème avec le cycle traditionnel du RàPC il y a effectivement une amélioration de la qualité des recettes proposées et qui vont plus en accord avec les critères définis. Sur la même problématique, mais plus focalisé sur la génération des recettes novatrices, [Maher and Grace, 2017], utilise un modèle probabiliste qui considère les préférences des utilisateurs, un indicateur de curiosité et un composant qui synthétise tout le design ; une fois que toutes les exigences sont remplies, la recette est créée en combinant les ingrédients avec un réseau d'apprentissage profond. Les changements dans la représentation des cas est aussi une source d'amélioration des résultats parce que parfois d'un côté il y a plus d'information et de l'autre certain techniques ou algorithmes fonctionnent mieux, c'est le cas que montre [Müller and Bergmann, 2015] où les recettes sont codées comme un processus de transformation et mélange des ingrédients en suivant une suite de pas ordonnés, pour créer innovation dans les recettes une mesure de distance est employée entre les ingrédients avec laquelle il est possible de trouver une recette et changer les ingrédients pour les plus proches, de la même façon il est possible de créer recettes plus proches des exigences des utilisateurs, les étapes de transformation appelées aussi opérateurs sont stockés et catégorisés les unes avec les autres avec une métrique qui permet de les échanger pour obtenir une nouvelle recette.

Une autre type d'application du RàPC très notable est le génération, analyse et correction du texte écrit ; pour la réalisation de ces tâches parfois il est nécessaire de transformer le texte en représentation numérique ou établir une fonction ou mesure qui va indiquer quels mots ont une proximité sémantique. Le travail de [Ontañón et al., 2015] utilise le RàPC pour générer des histoires en utilisant le texte d'autres histoires, en explorant les possibles transformations de forme que la nouvelle histoire ne soit pas très similaire aux histoire déjà connues mais que elle soit cohérent. Le travail est plus focalisé sur la phase de révision, car les résultats de la révision déterminent si la histoire générée corresponde avec les critères spécifiés ou si le cycle d'adaptation doit recommencer ; l'adaptation se fait en cherchant dans la base des cas, les personnages, les contextes, les objets et en unifiant tout avec des actions ; la plus part des histoires générées sont cohérents mais sont des paragraphes très courts. Dans [Lepage et al., 2020] les phrases écrites en langue française sont corrigées, ce travail n'utilise pas la transformation numérique des phrases, ni connaissances linguistiques, mais seulement retrouve les phrases similaires en utilisant l'algorithme LCS (Longest Common Subsequence) et en calculant la distance parmi toutes les phrases pour savoir si elle est bien écrite ou pas, sinon le système peut proposer une correction en changeant certains mots selon le contexte et calculer à nouveau les distances qui déterminent la cohérence et pertinence de la phrase.

Le sport fait partie aussi des domaines explorés avec le RàPC, qui est généralement employé pour suggérer des routines d'entraînement, prédire des temps de course, ainsi comme évaluer et améliorer la performance des athlètes. La prédiction du temps de course pour un athlète est l'objectif du travail de [Smyth and Cunningham, 2018] où les coureurs ont été suivis et analysés pour la prédictions des temps de finalisation de une course, ici est implémenté un algorithme pour ceux qui font de la marathon en utilisant l'algorithme KNN pour rechercher les cas similaires et en faisant la prédiction avec la moyenne pondérée des meilleurs temps d'arrivée des cas similaires retrouvés dans la première étape du RàPC. Tandis que [Smyth and Willemsen, 2020] essaie de prédire

le meilleur temps personnel pour des patineurs en se basant sur l'analogie de que les patineur avec des caractéristiques et histoire de course similaires auront des temps similaires aussi, mais parfois calculer une moyenne des temps similaires trouvés, ne suffit pas, car il y a des variables qui peuvent changer beaucoup la performance du patineur comme : le type de course, une piste spécifique, la distance de course, etc ; l'algorithme a été testé avec une base de données qui contiens l'information de 21 courses de 500m, 700m, 1000m, 1500m, 3km, 5km and 10km entre Septembre 2015 et Janvier 2020. Un système multi-fonctionnel apparait dans [Feely et al., 2020] car il permet de obtenir une prédiction du temps de course, suggérer un plan du rythme de la course et il recommande aussi un plan d'entraînement pour une course donnée ; les trois fonctionnalités sont implémentées avec RàPC et en utilisant l'information des coureurs qui présentent un parcours historique et des caractéristiques physiques similaires, les plans d'entraînement ont été définis génériquement sur 16 semaines avant le début de la marathon parce que c'est le temps usuel pour la préparation de tous les coureurs. Le système a été évalué avec une base de données de 21000 coureurs dans la période de 2014 à 2017 qui ont couru les marathons de Dublin, Londres ou New-York.

Les systèmes de recommandation et le RàPC peuvent aussi être combinés comme le fait [Obeid et al., 2022], dont le objectif est d'arriver à minimiser les limitations des systèmes traditionnels ainsi comme avoir la capacité d'analyser des données hétérogènes et dans des grands espaces dimensionnels, dans ce travail est recommandé aux élèves du secondaire le parcours de carrière et les universités/collèges qui correspondent à leurs intérêts, ce travail montre aussi une taxonomie des techniques algorithmiques généralement utilisées dans les systèmes de recommandation pour les EIAH (figure 4.2). La utilisation du RàPC dans les environnements informatiques pour l'apprentissage humain (EIAH) et la personnalisation montrent des résultats positifs comme l'indique le travail de [Supic, 2018] dont le modèle suit le cycle traditionnel du RàPC en combinant les modèles d'apprentissage traditionnel et digital, les principales contributions sont : la représentation des cas et la recommandation des parcours d'apprentissage personnalisés selon l'information des autres apprenants. Pour démontrer l'effectivité du modèle est crée une base de cas initiales avec laquelle est recommandé le parcours à 120 apprenants, les résultats ont été obtenus avec l'aide des examens avant et après avoir suivi le parcours recommandé par le modèle.

Certains travaux ont appliqué le raisonnement à partir de cas à un problème spécifique en proposant des représentations des cas et des solutions différents et d'autres ont modifié le cycle conceptuel comme est montré dans la figure 4.3 extraite de [Grace et al., 2016] où est additionné un autre cycle complémentaire avec l'idée d'améliorer le résultat du processus du RàPC en utilisant le *Deep Learning* ; dans [Butdee and Tichkiewitch, 2011] la phase de stockage est modifiée en retenant les cas dont les résultats n'ont pas eu de succès, pour guider le processus dans la fabrications de nouvelles pièces ; [Robertson and Watson, 2014] additionne pour chaque cas, une valeur d'utilité espérée selon chaque possible action avec laquelle est possible d'obtenir une prédiction probabiliste de l'application des actions à un état initiale donné.

Le tableau 4.1 montre un récapitulatif des articles analysés dans l'état de l'art du RàPC.

Deux problèmes très communes des systèmes de recommandation sont : le *cold-start* qui occurs au début d'une recommandation lorsque il n'y a pas suffisamment de données pour calculer ou inférer une recommandation appropriée et le *gray-sheep* que se produit lorsque un utilisateur présente un comportement très différent des utilisateurs qui sont

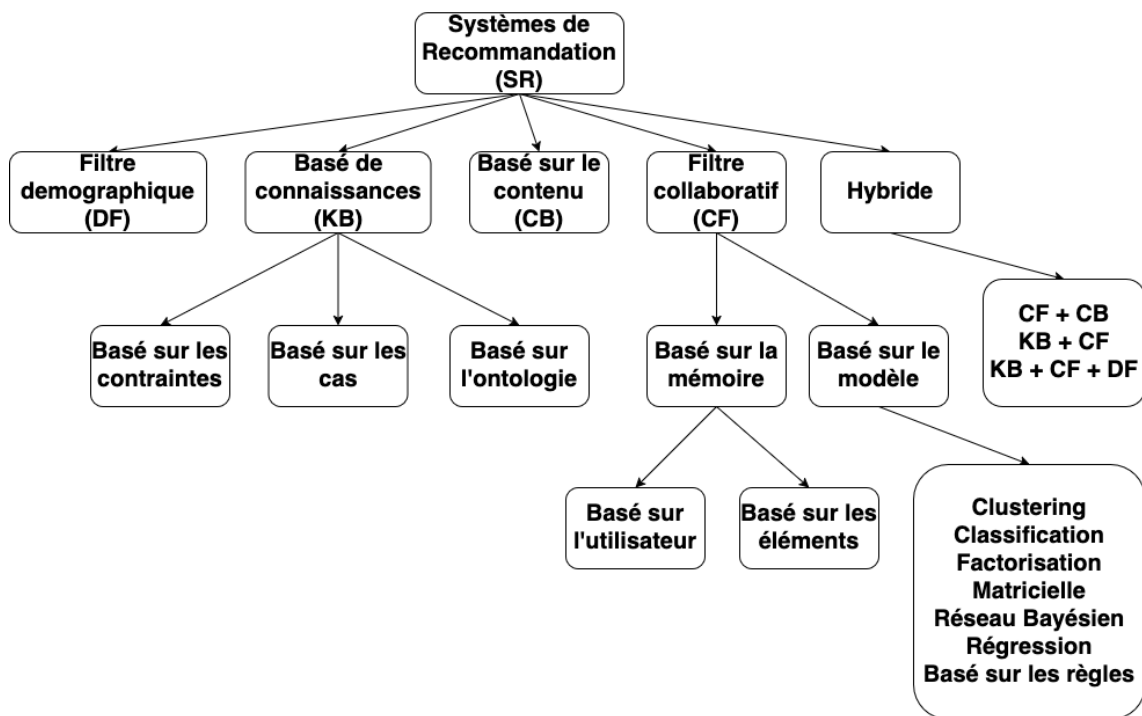


FIGURE 4.2 – Taxonomie des techniques algorithmiques employées pour des modules de recommandation dans les EIAH (Traduit de [Obeid et al., 2022])

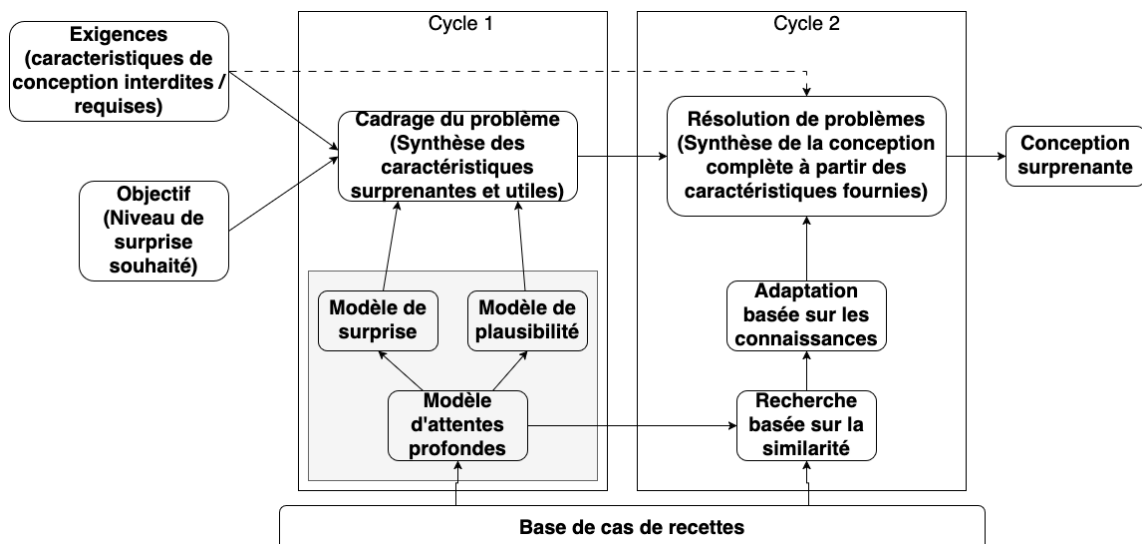


FIGURE 4.3 – Addition d'un cycle complémentaire avec *Deep Learning* au RàPC (Traduit de [Grace et al., 2016])

stockés dans la base de données et le système ne peut pas générer des recommandations en se basant sur l'information disponible.

Ref	Limites et faiblesses
[Petrovic et al., 2016]	Grand quantité de données pour que l'algorithme marche bien. Recommandation limitée à un problème très spécifique
[Roldan Reyes et al., 2015]	Un seul méthode d'adaptation est utilisé. Le modèle n'exploite pas les cas qui présentent une erreur
[Jung et al., 2009]	Le modèle d'adaptation proposé marche bien seulement avec des cas très proches. L'apprentissage dans le RàCP se limite à stocker les nouveaux cas
[Butdee and Tichkiewitch, 2011]	Le RàPC n'est pas modifié ou amélioré. La révision dans le RàPC n'est pas automatique
[Grace et al., 2016]	Beaucoup de données nécessaires pour entrainer le modèle de 'Deep Learning'. Les solution générées n'ont pas été validées
[Maher and Grace, 2017]	L'évaluation des solution générées n'est pas automatique. Les solutions sont produites avec un seul point de vue
[Müller and Bergmann, 2015]	Un seul approche pour adapter les cas dans le RàPC. La révision dans le RàPC n'est pas automatique
[Ontañón et al., 2015]	Les solutions générées peuvent présenter des incohérences. Il n y a pas une métrique objective pour mesurer la qualité des réponses
[Lepage et al., 2020]	Les résultats ne sont pas très bonnes. Le modèle n'a pas de connaissances linguistiques
[Smyth and Cunningham, 2018]	Les prédictions n'ont pas été testées dans le monde réel. Les données sont très spécifiques et peu variées
[Smyth and Willemsen, 2020]	Les prédictions sont pour des cas limités. Le modèle est entrainé pour un type d'utilisateur spécifique
[Feely et al., 2020]	Seulement une technique de sélection de solutions. Les données nécessaires pour le modèle sont complexes
[Obeid et al., 2022]	L'ontologie peut être limitée pour évaluer plusieurs cas inconnus ou imprévus. Il est nécessaire d'avoir une forte connaissance dans le domaine
[Supic, 2018]	Le modèle a été validé avec peu de données. Les recommandation se basent seulement dans l'information des autres apprenants

TABLE 4.1 – Tableau de synthèse des articles analysés dans l'état de l'art du RàPC



CONTRIBUTIONS

ARCHITECTURE GLOBALE POUR LE SYSTÈME AI-VT

5.1/ INTRODUCTION

L'architecture logicielle est essentielle pour définir un système entier avant sa mise en œuvre et est importante car elle aide à décrire et à comprendre des systèmes logiciels complexes. L'architecture montre les composants, les couches, les fonctionnalités et les interactions. Ce chapitre présente l'architecture modulaire proposée pour le système AI-VT. Les modules intègrent des paradigmes, des modèles et des algorithmes d'intelligence artificielle pour améliorer le fonctionnement global. Les objectifs de l'architecture proposée sont de rendre le logiciel AI-VT (Artificial Intelligence Virtual Trainer) stable, évolutif, performant, maintenable, facile à modifier, facile à surveiller et testable. L'architecture proposée se compose de quatre couches indépendantes chacune avec une fonctionnalité spécifique : correction automatique, identification, révision et test. Le contenu de ce chapitre est partiellement extrait du travail de Soto *et al.* [Soto-Forero et al., 2024].

Les deux principaux types d'architecture logicielle sont l'architecture monolithique et l'architecture modulaire. Dans l'architecture monolithique, le système logiciel est considéré comme une unité unique avec une seule source de code, une seule base de données et un seul déploiement pour l'ensemble du système ; ce type de système est simple à développer et à tester mais n'est pas adapté à la mise à jour et à l'évolution en raison de sa rigidité. Une architecture modulaire divise le système en modules indépendants qui peuvent communiquer entre eux, chaque module contenant alors tout ce qui est nécessaire pour fonctionner. En fait, de nombreux systèmes logiciels ont été conçus avec une architecture modulaire en raison des multiples avantages qu'elle présente [Auer et al., 2021] [Zuluaga et al., 2022].

Le système AI-VT est un outil pédagogique générique qui vise à accompagner les apprenants dans leur apprentissage en leur proposant des fiches d'exercices appelées sessions. A l'intérieur de chaque session, les capacités attendues sont divisées en compétences, elles-mêmes divisées en sous-compétences. L'apprenant choisit une compétence à travailler et le système génère une session composée d'exercices associés à plusieurs sous-compétences de la compétence choisie. Le système propose une liste d'exercices au début d'une session en utilisant le paradigme du raisonnement par cas avec une base de données de questions.

5.2/ DESCRIPTION DU SYSTÈME AI-VT

Le système AI-VT est un EIAH générique dont la structure globale est présentée dans la figure 5.1. Il existe une base de données de questions, chacune des questions est associée à un contexte, au texte de la question considérée et à un niveau de complexité. Les questions appartiennent à un niveau de sous-compétences et les sous-compétences à un niveau de compétences. Les principaux acteurs du système sont l'enseignant et l'apprenant, l'enseignant a la capacité de configurer l'ensemble du système, le nombre de compétences, les sous-compétences d'une compétence, le nombre de questions, la complexité de chacune d'entre elles, le nombre de niveaux de complexité et le temps par session. Et l'apprenant, qui peut commencer l'entraînement d'une compétence spécifique, accéder à des ressources de soutien complémentaires et répondre aux questions de test dans les sessions proposées par le système. Le tableau 5.1 montre les caractéristiques du système AI-VT selon la définition des 20 dimensions du profil de l'apprenant décrites dans [Jean-Daubias, 2011].

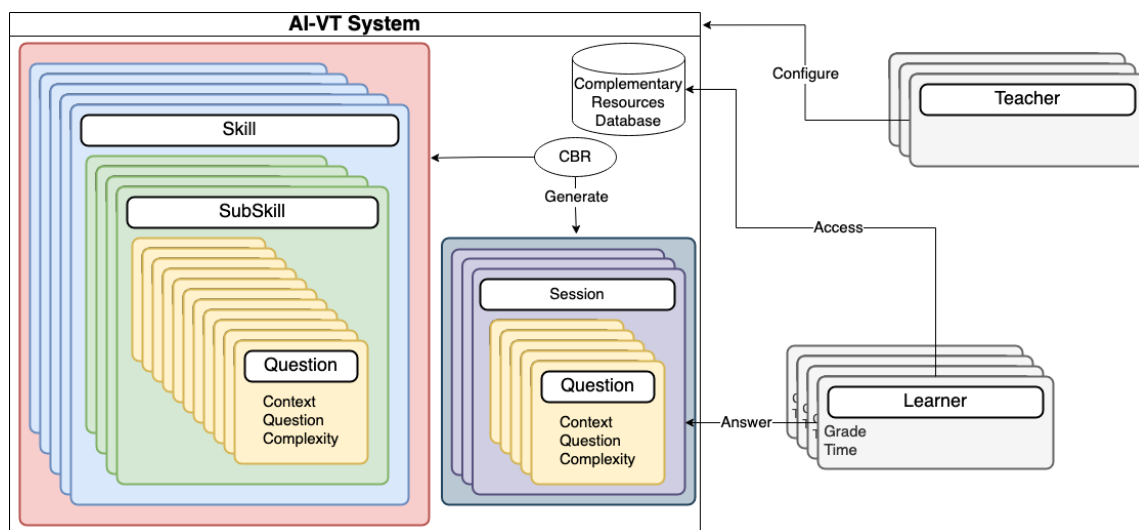


FIGURE 5.1 – Structure du système AI-VT

En s'appuyant sur la philosophie CBR, le système global AI-TV part du principe que certains apprenants ont des performances, des besoins et des capacités d'apprentissage similaires, et qu'il est donc possible de les regrouper et d'améliorer ainsi le processus d'apprentissage général pour tous. L'algorithme dans AI-VT tente de proposer une liste d'exercices en fonction de la compétence ou de la sous-compétence sélectionnée.

L'algorithme d'AI-VT tente de proposer une liste d'exercices en fonction de la compétence ou de la sous-compétence sélectionnée et en tenant compte de l'équilibre entre répétitivité et variété, le nombre d'exercices par session change en fonction du domaine, du niveau et de la compétence de chaque apprenant. La liste d'exercices est générée au début de chaque séance et ne modifie donc pas le cours de la séance en fonction des réponses fournies par l'apprenant, les listes d'exercices sont statiques pendant la séance [Henriet and Greffier, 2018].

Type	Definition	Système AI-VT
Subject	Acteur humain concerné par le profil	Apprentissage seul et en groupe
Collaboration	Le rôle de la collaboration dans les activités du profil	Individuel, Collaboratif
Distance	Le rôle de la distance dans les activités du profil	Presentiel, Distanciel
Discipline	Discipline des informations contenues dans le profil	Generic
Niveau	Le niveau scolaire de la matière concernée par le profil	Generic
Initiateur	L'acteur humain à l'origine de la décision de créer le profil de création	Professeur, Administrateur
Créateur	L'acteur humain ou logiciel qui compose le profil	Professeur, Administrateur
Destinataire	Acteur humain ou logiciel exploitant le profil	Apprenant
Temps	Période du profil	Asynchrone
Évolution	L'évolutivité du profil	Profil évolutif
Type	Le type d'informations contenues dans le profil	Profil de l'apprenant
Nature	La nature des informations contenues dans le profil	Connaissances et compétences
Évaluation	La forme sous laquelle l'information est évaluée	Rating, Taux de maîtrise
Représentation interne	Représentation interne utilisée par le système informatique pour manipuler les profils	Tables
Représentation externe	Représentation utilisée pour stocker le profil	Liste de valeurs
Visualisation	Représentation utilisée pour présenter le profil à ses destinataires	Représentation textuel et graphique standard
Norme	Norme ou standard éducatif	-
Format	Format de stockage du profil	Base de données relationnelle
Plate-forme	plate-forme informatique compatible	Web
Dispositifs	le type de dispositif d'affichage du profil	Ordinateur ou appareils connectés

TABLE 5.1 – Un tableau décrivant les caractéristiques du système AI-VT

5.3/ MODÈLE D'ARCHITECTURE PROPOSÉ

L'idée de l'architecture proposée est que le système préserve sa fonctionnalité d'origine et qu'il peut également utiliser des fonctions complémentaires en activant simplement le module correspondant en envoyant et en recevant les informations nécessaires à son fonctionnement, ce qui étend la fonctionnalité globale d'origine du système et facilite l'in-

tégration avec les modules conçus et même avec de nouveaux modules. La conception modulaire facilite également la maintenance du code, le développement et l'intégration de nouvelles extensions, ainsi que la configuration et l'adaptation du système à différents scénarios, tout en réduisant les risques et les coûts. La modularité permet également d'exécuter les fonctionnalités de chaque module de manière asynchrone, en parallèle ou en mode distribué si nécessaire.

L'architecture se compose de deux éléments principaux : le système central (AI-VT System) et les modules fonctionnels. Le système central gère l'ensemble du processus d'apprentissage ; il génère et démarre les séances ; il stocke les données relatives aux compétences, aux questions, aux ressources, aux apprenants et aux réponses ; il contient les commandes et l'interface générale ; il gère le flux d'informations et active les modules nécessaires. Les modules sont un ensemble de fonctionnalités indépendantes mises en œuvre avec des algorithmes d'intelligence artificielle qui reçoivent et envoient des données depuis le composant central, chaque module fonctionne selon des critères spécifiques liés à son propre objectif. Les modules sont regroupés en couches selon leur fonctionnalité : correction automatique, identification, adaptation, révision et test. L'enseignant et l'apprenant n'utilisent pas les modules directement, les modules sont utilisés par le système pour compléter certaines fonctionnalités.

La couche de correction automatique (LC) correspond aux modules chargés de recevoir les réponses des apprenants et, conformément aux algorithmes et critères définis, d'établir une note cohérente avec une réponse de référence à une question spécifique. Dans cette couche, le module routeur (LC0) est chargé d'identifier le type de correction nécessaire et d'instancier le module approprié pour l'exécution de la tâche spécifique.

La couche d'identification (LD) contient les modules qui identifient les faiblesses ou les variables externes des apprenants lors de l'exécution des exercices proposés par le système ou après l'analyse des résultats. Ces modules aident à personnaliser le processus des apprenants en fonction des résultats obtenus par les analyses.

La couche de révision (LR) comprend les modules qui prennent les données des résultats obtenus dans la couche LC et les résultats de l'analyse de la couche LD pour modifier le parcours de l'apprenant en essayant de renforcer l'apprentissage dans les faiblesses détectées. Ici se trouvent également les modules qui obtiennent des informations de la part des apprenants et tentent de prédire leurs résultats en fonction des différentes compétences et des différents niveaux de complexité.

Pour évaluer les modules dans différents scénarios, il est nécessaire de produire des données selon différents critères et complexités, c'est pourquoi la couche de test (LT) a été définie, dans laquelle se trouvent les modules qui permettent de générer des données synthétiques selon des critères variables, de cette manière il est possible d'obtenir des résultats numériques des modules et d'appliquer des métriques. La couche de test (LT) permet d'évaluer les modules selon différents critères et complexités.

Le schéma complet de l'architecture est illustré à la figure 5.2, où les lignes pleines représentent un flux d'informations bidirectionnel, les lignes pleines avec une flèche représentent le flux unidirectionnel et les lignes en pointillé représentent la dépendance de l'information entre les modules, les dispositifs externes qui peuvent être utilisés par les modules pour exécuter leurs fonctionnalités et les étiquettes qui indiquent quel type d'information le module envoie au système central sont également représentés, ainsi que certains des algorithmes d'intelligence artificielle mis en œuvre dans chaque module et le stade de développement dans lequel chacun d'eux se trouve. Certains dispositifs sont

nécessaires à l'exécution des modules qui requièrent l'obtention de données à partir de sources externes, dans le schéma d'architecture sont représentés le robot NAO, des capteurs, une caméra vidéo et un microphone.

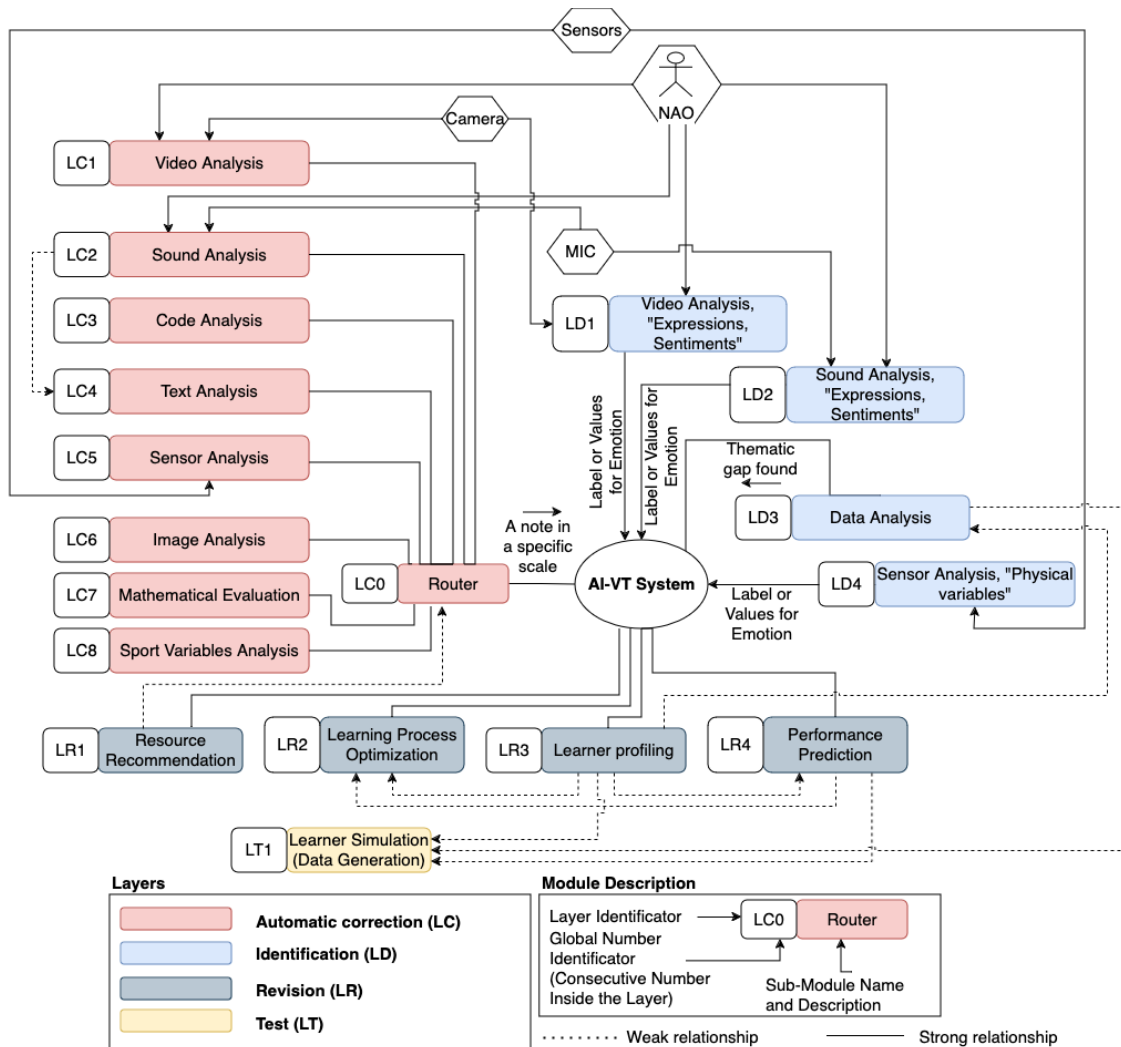


FIGURE 5.2 – Schéma de l'architecture proposée

5.3.1/ CORRECTION AUTOMATIQUE

Dans cette couche, les modules ont la capacité de recevoir et d'évaluer différents types de réponses données par les apprenants en fonction du contexte et de la question que le système a proposée. Les modules représentés ont la capacité d'évaluer une réponse donnée par l'apprenant, les modules dans lesquels des progrès ont déjà été réalisés correspondent à l'analyse de vidéo, de texte audio (langage naturel), de code source (Java, Python). D'autres modules permettent également d'analyser des images, des expressions mathématiques, des valeurs générées par des capteurs physiques et des variables définies par des activités sportives.

Le module routeur (LC0) a pour fonction d'identifier le type de réponse et de la rediriger vers le module d'analyse correspondant ; une fois la réponse générée, ce module la

redirige vers le système AI-VT principal.

Le module vidéo (LC1) permet de capturer un flux d'images à partir d'un dispositif externe (caméra vidéo ou robot NAO) et de les analyser pour déterminer si une réponse donnée est correcte, actuellement le module est utilisé pour évaluer la réponse à la question : montrer n nombre de doigts. L'algorithme implémenté détecte les doigts qui apparaissent sur la caméra, les compte et détermine s'il s'agit de la bonne réponse à la question donnée.

Le module audio (LC2) analyse une piste audio et tente de convertir son contenu en texte. Une fois le texte généré, il peut être comparé à une réponse attendue à la question posée à l'aide de techniques NLP mises en œuvre dans le module GC5, et un score d'approximation estimé peut être généré. Le module audio (LC2) analyse une piste audio et tente de convertir son contenu en texte.

Le module d'analyse du code (LC3) génère le score après l'exécution de plusieurs étapes, d'abord il détermine s'il y a des faiblesses dans certaines compétences prédéfinies, ensuite il transforme la représentation du code en un vecteur numérique à comparer avec une réponse de référence, le résultat de la pondération entre les faiblesses détectées et le pourcentage de comparaison est le score généré. Le module d'analyse du code (LC3) génère le score après l'exécution de plusieurs étapes.

Le module d'analyse de texte (LC5) transforme essentiellement le texte envoyé par l'apprenant en un vecteur numérique qui peut être comparé au vecteur numérique d'une réponse attendue. Dans ce cas, la réponse donnée ne doit pas nécessairement être exactement la même que la réponse attendue, puisque la représentation vectorielle permet d'établir des similitudes dans l'espace, même si les termes utilisés et la longueur du texte diffèrent.

Les modules LC6, LC7, LC8 et LC9 ont été définis comme des modules capables d'analyser différents types de réponses potentielles, qui ne sont pas encore gérées par le système AI-VT.

5.3.2/ IDENTIFICATION

Les modules de la couche d'identification visent à extraire des informations complémentaires à la note de l'étudiant pour chacune des réponses envoyées au système, principalement pour obtenir des informations sur les expressions et les faiblesses qui peuvent se manifester dans chaque sous-compétence et niveau de complexité, afin d'obtenir une meilleure estimation de l'état de l'apprentissage, pour guider plus précisément le parcours de l'apprenant.

Les modules d'identification LD1, LD2 et LD4 tentent de détecter les comportements, les émotions et les sentiments à l'aide de dispositifs externes tels que la caméra vidéo et le microphone. Dans le cas de l'analyse vidéo, des réseaux neuronaux d'apprentissage profond sont utilisés pour capturer et analyser les images statiques obtenues à partir du flux de la caméra vidéo, les émotions qui peuvent être détectées ont été prédéfinies et le modèle d'IA a été entraîné à les identifier. Le module audio vise à détecter le même type d'émotions, mais à partir de l'analyse des signaux obtenus à partir d'un microphone, il utilise également l'apprentissage profond formé avec des signaux qui présentent les émotions prédéfinies. Le module capteur est conçu de manière plus générique, mais il peut être subdivisé en modules spécifiques en fonction du type de capteur et du signal à

analyser, mais l'idée de la détection est la même avec les émotions prédéfinies.

Le module Analyse des données (LD3) est différent car, en plus d'être générique, il tente d'identifier les faiblesses dans des compétences spécifiques en fonction du type d'évaluation, ce module peut contenir différents modèles entraînés pour chaque type de cas. Pour les exercices linguistiques, les faiblesses doivent être identifiées dans : la conjugaison des verbes, l'utilisation des temps, le vocabulaire, la correspondance des genres de mots, etc. ; si l'exercice est de type programmation : la syntaxe, la déclaration de variables, l'appel de fonctions, la construction de structures, etc. En interne, ce module contient des modèles d'apprentissage profond et des modèles collaboratifs tels que le raisonnement à partir de cas.

5.3.3/ RÉVISION

Dans la couche de révision, les modules utilisent les informations générées par les modules des couches de correction automatique et d'identification ainsi que les informations complémentaires de l'apprenant stockées dans la base de données du système, ces modules valident que la recommandation générée est optimale pour l'apprenant. Toutes les informations récoltées permettent d'établir la meilleure façon de guider l'apprenant vers une meilleure compréhension en surmontant les faiblesses et les lacunes qui ont été identifiées.

Les ressources recommandées par le module LR1 proviennent d'une base de données déjà établie que le module consulte et suggère à l'étudiant en fonction du résultat de la comparaison de l'état d'apprentissage, du niveau et des caractéristiques et spécifications de chacune des ressources.

Le module LR2 a deux variantes, l'une déterministe et l'autre stochastique, les deux variantes étant basées sur les valeurs générées par l'apprenant. Le modèle déterministe utilise un tableau prédéterminé de rangs sur lequel l'apprenant est positionné pour générer la suggestion d'adaptation. Le modèle stochastique utilise des distributions de probabilités dynamiques qui changent en fonction des résultats de l'apprenant à chaque niveau de complexité de la même sous-compétence.

Il y a d'autres modules, où une prédiction est faite avec les mêmes données que celles qui ont été utilisées pour la génération de l'adaptation et de cette façon est déterminée quelle sera la performance de l'apprenant et si effectivement l'adaptation proposée permet d'acquérir les compétences nécessaires et d'améliorer les notes obtenues.

Le module LR3 obtient dynamiquement des structures variables à partir des informations extraites du système AI-VT central. Ce module peut également effectuer des transformations dans la structure, le contenu et la représentation des données des apprenants.

Le module LR4 utilise les informations produites par l'apprenant et les informations collaboratives pour tenter de prédire les performances futures de l'apprenant, en particulier avec la recommandation générée par les modules de la couche adaptative, la prédiction est utilisée pour valider l'adaptation recommandée et l'ajuster si nécessaire.

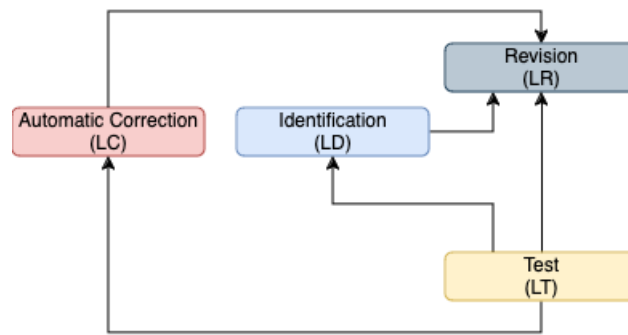


FIGURE 5.3 – Relation entre les couches définies de l'architecture.

5.3.4/ TEST

La couche de test est externe au flux du fonctionnement global du système et à l'intégration avec des outils d'intelligence artificielle, mais elle a été développée parce qu'elle permet d'évaluer chacun des modules indépendamment et de générer des données spécifiques pour divers scénarios de test qui peuvent être pris en compte lors de la validation d'un module.

Les couches définies de l'architecture peuvent communiquer entre elles, car pour que certains de leurs modules internes fonctionnent, elles ont besoin des informations générées par les modules des autres couches. La figure 5.3 montre les interactions qui peuvent se produire dans le fonctionnement du système. La couche de test (LT) a besoin des informations générées par les modules de toutes les autres couches pour évaluer leurs performances individuelles. La couche d'identification (LD) doit obtenir les données relatives au profil des apprenants ; ces informations sont générées par le module de profil qui se trouve dans la couche de révision (LR), pour certains modules qui ont la capacité de modifier une solution, cette couche doit connaître les résultats obtenus par l'apprenant dans chacun des tests ou exercices proposés par le système, ces résultats sont attribués par la couche de correction automatique (LC). De plus, il est possible d'obtenir une estimation du résultat de la révision proposée avant qu'elle ne soit envoyée à l'apprenant, pour cela il faut invoquer les modules spécifiques de prédiction qui appartiennent à la couche de révision (LR).

Le flux complet d'informations est représenté dans la figure 5.4. La première étape consiste à envoyer le test généré par le système AI-VT à l'apprenant ; à cette étape, le module d'identification correspondant à l'analyse à effectuer est également lancé. Lorsque l'étudiant envoie la réponse à une question, le module d'identification envoie à l'apprenant l'analyse effectuée sur cette même réponse. Grâce à ces informations, le système active les modules de correction automatique pour attribuer une note à la réponse envoyée, en tenant compte également des résultats du module d'identification. À l'étape 6, la note générée est envoyée au système, puis pour effectuer l'adaptation, le système obtient les informations spécifiques de l'apprenant et lance les modules d'adaptation, en envoyant les informations obtenues dans les étapes précédentes. Les algorithmes d'adaptation évaluent les variables et déterminent le parcours optimal pour l'apprenant, mais avant de le renvoyer au système principal, l'étape 9 évalue sa pertinence à l'aide du module de prédiction. Si la prédiction détermine que le chemin suggéré est acceptable, il est envoyé au système principal qui décide, à l'étape 11, de le présenter à l'apprenant comme une

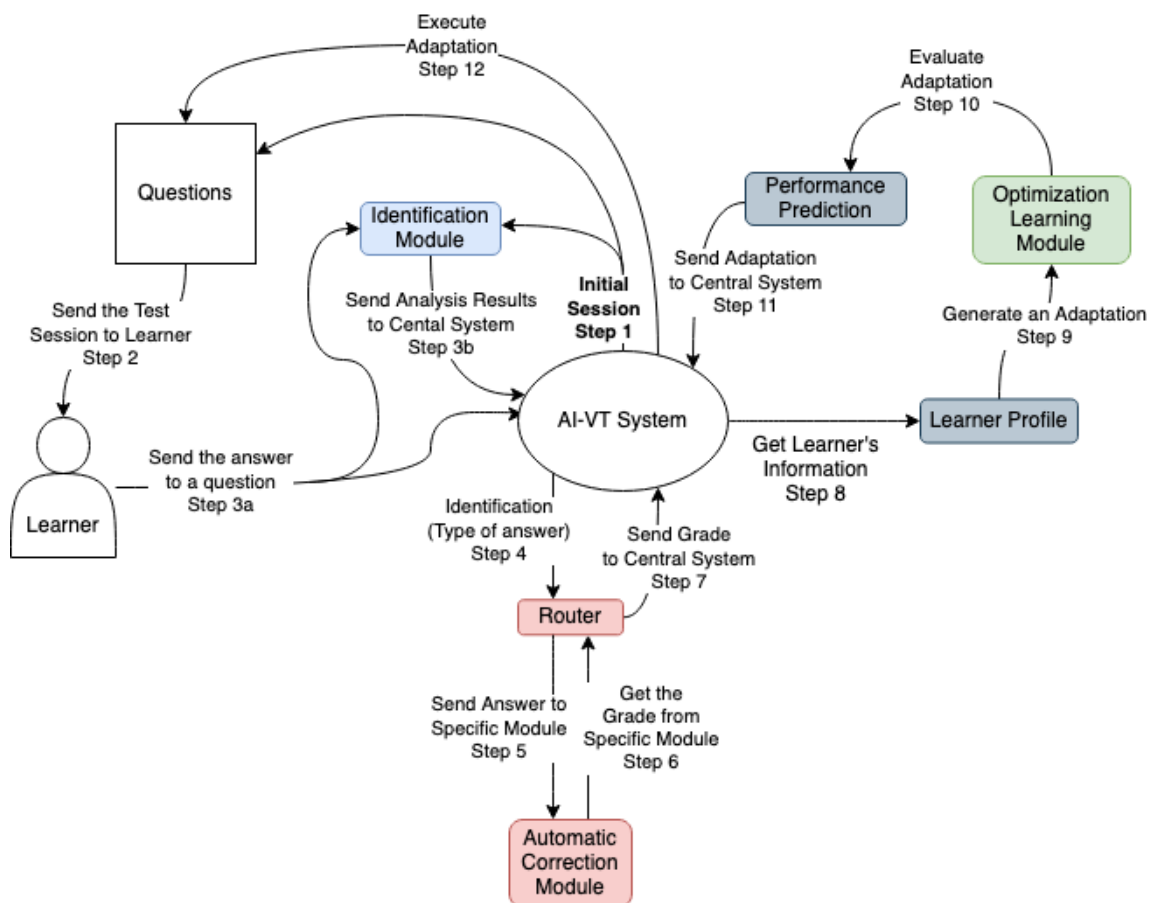


FIGURE 5.4 – Étapes du flux de l'information pour la fonctionnalité de recommandation globale

alternative au chemin sélectionné à l'origine.

5.4/ CONCLUSION

L'architecture proposée est basée sur des concepts et des modèles couramment utilisés pour concevoir des systèmes complexes qui utilisent d'une manière ou d'une autre des algorithmes et des outils d'intelligence artificielle. Ce type de conception permet la mise en œuvre d'un système fonctionnel doté d'une capacité d'adaptation, nécessaire à l'exécution de l'une des principales exigences des systèmes d'apprentissage intelligents. En outre, comme l'indiquent les travaux cités en référence, l'architecture modulaire permet une mise en œuvre plus souple et donne au système la possibilité d'évoluer rapidement et même d'ajouter des fonctionnalités complémentaires sans affecter le système et les données qui y sont stockées.

BIBLIOGRAPHIE

- [**Aamodt and Plaza, 1994**] Aamodt, A. and Plaza, E. (1994). Case-based reasoning : Foundational issues, methodological variations, and system approaches. *AI Communications*, 7(1) :39–59.
- [**Auer et al., 2021**] Auer, F., Lenarduzzi, V., Felderer, M., and Taibi, D. (2021). From monolithic systems to microservices : An assessment framework. *Information and Software Technology*, 137 :106600.
- [**Butdee and Tichkiewitch, 2011**] Butdee, S. and Tichkiewitch, S. (2011). Case-based reasoning for adaptive aluminum extrusion die design together with parameters by neural networks. In Bernard, A., editor, *Global Product Development*, pages 491–496, Berlin, Heidelberg. Springer Berlin Heidelberg.
- [**Chiu et al., 2023**] Chiu, T. K., Xia, Q., Zhou, X., Chai, C. S., and Cheng, M. (2023). Systematic literature review on opportunities, challenges, and future research recommendations of artificial intelligence in education. *Computers and Education : Artificial Intelligence*, 4 :100118.
- [**C.K. and R.C., 1989**] C.K., R. and R.C., S. (1989). *Inside Case-Based Reasoning*. Psychology Press.
- [**Cunningham and Delany, 2021**] Cunningham, P. and Delany, S. J. (2021). K-nearest neighbour classifiers - a tutorial. *ACM Comput. Surv.*, 54(6).
- [**Ezaldeen et al., 2022**] Ezaldeen, H., Misra, R., Bisoy, S. K., Alatrash, R., and Priyadarshini, R. (2022). A hybrid e-learning recommendation integrating adaptive profiling and sentiment analysis. *Journal of Web Semantics*, 72 :100700.
- [**Feely et al., 2020**] Feely, C., Caulfield, B., Lawlor, A., and Smyth, B. (2020). Using case-based reasoning to predict marathon performance and recommend tailored training plans. In Watson, I. and Weber, R., editors, *Case-Based Reasoning Research and Development*, pages 67–81, Cham. Springer International Publishing.
- [**Grace et al., 2016**] Grace, K., Maher, M. L., Wilson, D. C., and Najjar, N. A. (2016). Combining cbr and deep learning to generate surprising recipe designs. In Goel, A., Díaz-Agudo, M. B., and Roth-Berghofer, T., editors, *Case-Based Reasoning Research and Development*, pages 154–169, Cham. Springer International Publishing.
- [**Gupta et al., 2021**] Gupta, S., Chaudhari, S., Joshi, G., and Yağan, O. (2021). Multi-armed bandits with correlated arms. *IEEE Transactions on Information Theory*, 67(10) :6711–6732.
- [**Hajduk et al., 2019**] Hajduk, M., Sukop, M., and Haun, M. (2019). *Cognitive Multi-agent Systems : Structures, Strategies and Applications to Mobile Robotics and Robosoccer*. Studies in Systems, Decision and Control. Springer International Publishing.
- [**Henriet et al., 2017**] Henriet, J., Christophe, L., and Laurent, P. (2017). Artificial intelligence-virtual trainer : An educative system based on artificial intelligence and designed to produce varied and consistent training lessons. *Proceedings of the Institution of Mechanical Engineers, Part P : Journal of Sports Engineering and Technology*, 231(2) :110–124.

- [Henriet and Greffier, 2018] Henriet, J. and Greffier, F. (2018). Ai-vt : An example of cbr that generates a variety of solutions to the same problem. In Cox, M. T., Funk, P., and Begum, S., editors, *Case-Based Reasoning Research and Development*, pages 124–139, Cham. Springer International Publishing.
- [Hoang, 2018] Hoang, L. (2018). *La formule du savoir. Une philosophie unifiée du savoir fondée sur le théorème de Bayes*. EDP Sciences.
- [Huang et al., 2023] Huang, A. Y., Lu, O. H., and Yang, S. J. (2023). Effects of artificial intelligence-enabled personalized recommendations on learners' learning engagement, motivation, and outcomes in a flipped classroom. *Computers and Education*, 194 :104684.
- [Ingkavara et al., 2022] Ingkavara, T., Panjaburee, P., Srisawasdi, N., and Sajjapanroj, S. (2022). The use of a personalized learning approach to implementing self-regulated online learning. *Computers and Education : Artificial Intelligence*, 3 :100086.
- [Jean-Daubias, 2011] Jean-Daubias, S. (2011). Ingénierie des profils d'apprenants.
- [Jung et al., 2009] Jung, S., Lim, T., and Kim, D. (2009). Integrating radial basis function networks with case-based reasoning for product design. *Expert Systems with Applications*, 36(3, Part 1) :5695–5701.
- [Kolodner, 1983] Kolodner, J. L. (1983). Reconstructive memory : A computer model. *Cognitive Science*, 7(4) :281–328.
- [Lalitha and Sreeja, 2020] Lalitha, T. B. and Sreeja, P. S. (2020). Personalised self-directed learning recommendation system. *Procedia Computer Science*, 171 :583–592. Third International Conference on Computing and Network Communications (CoCoNet'19).
- [Leikola et al., 2018] Leikola, M., Sauer, C., Rintala, L., Aromaa, J., and Lundström, M. (2018). Assessing the similarity of cyanide-free gold leaching processes : A case-based reasoning application. *Minerals*, 8(10).
- [Lepage et al., 2020] Lepage, Y., Lieber, J., Mornard, I., Nauer, E., Romary, J., and Sies, R. (2020). The french correction : When retrieval is harder to specify than adaptation. In Watson, I. and Weber, R., editors, *Case-Based Reasoning Research and Development*, pages 309–324, Cham. Springer International Publishing.
- [Lin, 2022] Lin, B. (2022). Evolutionary multi-armed bandits with genetic thompson sampling. In *2022 IEEE Congress on Evolutionary Computation (CEC)*, pages 1–8.
- [Maher and Grace, 2017] Maher, M. L. and Grace, K. (2017). Encouraging curiosity in case-based reasoning and recommender systems. In Aha, D. W. and Lieber, J., editors, *Case-Based Reasoning Research and Development*, pages 3–15, Cham. Springer International Publishing.
- [Muangprathub et al., 2020] Muangprathub, J., Boonjing, V., and Chamnongthai, K. (2020). Learning recommendation with formal concept analysis for intelligent tutoring system. *Heliyon*, 6(10) :e05227.
- [Müller and Bergmann, 2015] Müller, G. and Bergmann, R. (2015). Cookingcake : A framework for the adaptation of cooking recipes represented as workflows. In *International Conference on Case-Based Reasoning*.
- [Nkambou et al., 2010] Nkambou, R., Bourdeau, J., and Mizoguchi, R. (2010). *Advances in Intelligent Tutoring Systems*. Springer Berlin, Heidelberg, 1 edition.
- [Obeid et al., 2022] Obeid, C., Lahoud, C., Khoury, H. E., and Champin, P. (2022). A novel hybrid recommender system approach for student academic advising named cohars, supported by case-based reasoning and ontology. *Computer Science and Information Systems*, 19(2) :979–1005.

- [**Ontañón et al., 2015**] Ontañón, S., Plaza, E., and Zhu, J. (2015). Argument-based case revision in cbr for story generation. In Hüllermeier, E. and Minor, M., editors, *Case-Based Reasoning Research and Development*, pages 290–305, Cham. Springer International Publishing.
- [**Petrovic et al., 2016**] Petrovic, S., Khussainova, G., and Jagannathan, R. (2016). Knowledge-light adaptation approaches in case-based reasoning for radiotherapy treatment planning. *Artificial Intelligence in Medicine*, 68 :17–28.
- [**Richter and Weber, 2013**] Richter, M. and Weber, R. (2013). *Case-Based Reasoning (A Textbook)*. Springer-Verlag GmbH.
- [**Richter, 2009**] Richter, M. M. (2009). The search for knowledge, contexts, and case-based reasoning. *Engineering Applications of Artificial Intelligence*, 22(1) :3–9.
- [**Robertson and Watson, 2014**] Robertson, G. and Watson, I. D. (2014). A review of real-time strategy game ai. *AI Mag.*, 35 :75–104.
- [**Roldan Reyes et al., 2015**] Roldan Reyes, E., Negny, S., Cortes Robles, G., and Le Lann, J. (2015). Improvement of online adaptation knowledge acquisition and reuse in case-based reasoning : Application to process engineering design. *Engineering Applications of Artificial Intelligence*, 41 :1–16.
- [**Schank and Abelson, 1977**] Schank, R. C. and Abelson, R. P. (1977). *Scripts, Plans, Goals and Understanding : an Inquiry into Human Knowledge Structures*. L. Erlbaum, Hillsdale, NJ.
- [**Seznec et al., 2020**] Seznec, J., Menard, P., Lazaric, A., and Valko, M. (2020). A single algorithm for both restless and rested rotting bandits. In Chiappa, S. and Calandra, R., editors, *Proceedings of the Twenty Third International Conference on Artificial Intelligence and Statistics*, volume 108 of *Proceedings of Machine Learning Research*, pages 3784–3794. PMLR.
- [**Sinaga and Yang, 2020**] Sinaga, K. P. and Yang, M.-S. (2020). Unsupervised k-means clustering algorithm. *IEEE Access*, 8 :80716–80727.
- [**Smyth and Cunningham, 2018**] Smyth, B. and Cunningham, P. (2018). An analysis of case representations for marathon race prediction and planning. In Cox, M. T., Funk, P., and Begum, S., editors, *Case-Based Reasoning Research and Development*, pages 369–384, Cham. Springer International Publishing.
- [**Smyth and Willemsen, 2020**] Smyth, B. and Willemsen, M. C. (2020). Predicting the personal-best times of speed skaters using case-based reasoning. In Watson, I. and Weber, R., editors, *Case-Based Reasoning Research and Development*, pages 112–126, Cham. Springer International Publishing.
- [**Soto-Forero et al., 2024**] Soto-Forero, D., Ackermann, S., Betbeder, M.-L., and Henriët, J. (2024). The intelligent tutoring system ai-vt with case-based reasoning and real time recommender models. In Recio-Garcia, J. A., Orozco-del Castillo, M. G., and Bridge, D., editors, *Case-Based Reasoning Research and Development*, pages 191–205, Cham. Springer Nature Switzerland.
- [**Su et al., 2022**] Su, Y., Cheng, Z., Wu, J., Dong, Y., Huang, Z., Wu, L., Chen, E., Wang, S., and Xie, F. (2022). Graph-based cognitive diagnosis for intelligent tutoring systems. *Knowledge-Based Systems*, 253 :109547.
- [**Supic, 2018**] Supic, H. (2018). Case-based reasoning model for personalized learning path recommendation in example-based learning activities. In *2018 IEEE 27th International Conference on Enabling Technologies : Infrastructure for Collaborative Enterprises (WETICE)*, pages 175–178.

- [Wang et al., 2021]** Wang, F., Liao, F., Li, Y., and Wang, H. (2021). A new prediction strategy for dynamic multi-objective optimization using gaussian mixture model. *Information Sciences*, 580 :331–351.
- [Xu et al., 2021]** Xu, S., Cai, W., Xia, H., Liu, B., and Xu, J. (2021). Dynamic metric accelerated method for fuzzy clustering. *IEEE Access*, 9 :166838–166854.
- [Zhang. and Aslan, 2021]** Zhang., K. and Aslan, A. B. (2021). Ai technologies for education : Recent research and future directions. *Computers and Education : Artificial Intelligence*, 2 :100025.
- [Zhao et al., 2023]** Zhao, L.-T., Wang, D.-S., Liang, F.-Y., and Chen, J. (2023). A recommendation system for effective learning strategies : An integrated approach using context-dependent dea. *Expert Systems with Applications*, 211 :118535.
- [Zhou and Wang, 2021]** Zhou, L. and Wang, C. (2021). Research on recommendation of personalized exercises in english learning based on data mining. *Scientific Programming*, 2021 :5042286.
- [Zuluaga et al., 2022]** Zuluaga, C. A., Aristizábal, L. M., Rúa, S., Franco, D. A., Osorio, D. A., and Vásquez, R. E. (2022). Development of a modular software architecture for underwater vehicles using systems engineering. *Journal of Marine Science and Engineering*, 10(4).

Résumé :

L'objectif de ce travail de thèse est la prise en compte en temps réel du travail d'un apprenant pour une meilleure personnalisation d'AI-VT (Artificial Intelligence Virtual Trainer).

Mots-clés : Mot-clé 1, Mot-clé 2

Abstract:

This is the abstract in English.

Keywords: Keyword 1, Keyword 2

SPIM

■ École doctorale SPIM 16 route de Gray F - 25030 Besançon cedex
■ tél. +33 (0)3 81 66 66 02 ■ ed-spim@univ-fcomte.fr ■ www.ed-spim.univ-fcomte.fr

